

3.1 การแยกเชื้อบริสุทธิ์ของแลคติกแอซิดแบคทีเรีย

3.1.1 การแยกแลคติกแอซิดแบคทีเรียจากตัวอย่างอาหาร

ทำการแยกแลคติกแอซิดแบคทีเรียจากตัวอย่างอาหาร ผักและผลไม้ดอง แหนม ไส้กรอกอีสาน จากตลาดสดต่างๆ ในกรุงเทพมหานครเช่น ตลาดบางซื่อ ตลาดสามย่าน ตลาดห้วยขวาง ตลาดศรียาน ตลาดเทเวศน์ ตลาดบางกระบือ ตลาดราชวัตร และตลาดสะพานใหม่ ดอนเมือง และจังหวัดใกล้เคียง เช่น นนทบุรี สุพรรณบุรี อุทัยธานี โดยการแยก ล.อ.บ. บนอาหารเลี้ยงเชื้อแข็งชนิดแลคโตบาซิล เอ็มอาร์เอส, อาหารเลี้ยงเชื้อแข็งน้ำมะเขือเทศ และอาหารเลี้ยงเชื้อแข็งเอพิตี ที่มี 0.004 % ของบรอมครีซอลเพอร์เฟิลเป็นอินดิเคเตอร์ และ 0.8 % แคลเซียมคาร์บอเนต โดยคัดเลือกโคโลนีที่ขึ้นบนอาหารเลี้ยงเชื้อแข็งที่สามารถเปลี่ยนสีอินดิเคเตอร์จากสีม่วงเป็นสีเหลือง แล้วเกิดบริเวณใสของแคลเซียมคาร์บอเนต พบว่าสามารถแยกแลคติกแอซิดแบคทีเรียจากแหล่งต่างๆ ได้ทั้งหมด 50 สายพันธุ์ ผลการทดลองได้แสดงไว้ในตารางที่ 3.1

3.1.2 การตรวจสอบชนิดของจุลินทรีย์ที่แยกได้ทางอนุกรมวิธาน

การตรวจสอบชนิดของ *Lactobacillus* sp. ทั้ง 50 สายพันธุ์ที่แยกได้จากอาหารหมักตามข้อ 3.1.1 เมื่อศึกษาลักษณะการเจริญและลักษณะทางสัณฐานวิทยา พบว่าลักษณะโคโลนีบนอาหารเลี้ยงเชื้อแข็งจะมีทั้งโคโลนีสีขาวขุ่นขนาดเล็ก ขนาดกลาง และลักษณะเยิ้มขุ่นขอบโคโลนีเรียบ ไม่สร้างรงควัตถุ (Pigment) เมื่อย้อมสีแกรมและตรวจดูลักษณะภายใต้กล้องจุลทรรศน์ จะเห็นเซลล์ติดสีน้ำเงินของแกรมบวก รูปร่างเป็นท่อนลักษณะต่างๆ ดังตัวอย่างในรูป

3.1-3.3 ทุกสายพันธุ์ไม่มีการสร้างสปอร์ และ เมื่อทดสอบลักษณะทางชีวเคมีเพื่อคัดเลือกร่างเอนไซม์คัสเตเลสโดยใช้ *B. subtilis* เป็นตัวเปรียบเทียบในการให้ผลเป็นบวก พบว่า ล.อ.บ. ที่แยกได้จากอาหารหมักคองจะให้ผลเป็นลบคือไม่สามารถสร้างเอนไซม์คัสเตเลสได้

การทดสอบความสามารถในการใช้คาร์โบไฮเดรตชนิดต่างๆ ในอาหารเลี้ยงเชื้อเหลวแลคโตบาซิลโลเอ็มอาร์เอสพื้นฐาน (ไม่มีการเติมสารสกัดจากเนื้อและน้ำตาลกลูโคสลงในอาหารเลี้ยงเชื้อ) โดยคาร์โบไฮเดรตที่ใช้ทดสอบมี 22 ชนิด ให้ผลต่างๆที่เปรียบเทียบกับ *Lactobacillus* sp. สายพันธุ์ต่างๆ ใน Bergey's Manual of Systematic Bacteriology (Kandler และคณะ, 1986) ดังแสดงในตารางที่ 3.2 พบว่าความน่าจะเป็นของแลคติกแอซิดแบคทีเรีย (ล.อ.บ.) ที่แยกได้จากอาหารหมัก เป็นดังนี้

หน่อไม้คอง 12 ตัวอย่าง พบว่าน่าจะเป็น *Lactobacillus plantarum* 11 ตัวอย่าง และ *L. murinus* 1 ตัวอย่าง

ผักกาดคอง 16 ตัวอย่าง พบว่าน่าจะเป็น *L. plantarum* ทั้งหมด

ผักคอง 4 ตัวอย่าง พบว่าน่าจะเป็น *L. plantarum* 3 ตัวอย่าง และ *L. pentosus* 1 ตัวอย่าง

แหนม 8 ตัวอย่าง พบว่าน่าจะเป็น *L. plantarum* 4 ตัวอย่าง และ *L. animalis* 4 ตัวอย่าง

ไส้กรอกอีสาน 7 ตัวอย่าง พบว่าน่าจะเป็น *L. plantarum* 4 ตัวอย่าง และ *L. animalis* 3 ตัวอย่าง

ถั่วงอกคอง 2 ตัวอย่าง พบว่าน่าจะเป็น *L. plantarum* ทั้งหมด

หัวเชื้อโยเกิร์ตจากเกาหลี พบว่าน่าจะเป็น *L. casei* subsp. *tolerans*

3.1.3 การตกตะกอนก้อนลิมในน้ำนมพร่องมันเนย

การทดสอบความสามารถในการตกตะกอนก้อนลิม ในน้ำนมพร่องมันเนย (Skim Milk) ของแลคติกแอซิดแบคทีเรียทั้ง 50 สายพันธุ์ พบว่าในระยะแรกของการเลี้ยง ล.อ.บ. ที่แยกได้จากอาหารหมักคองในน้ำนมพร่องมันเนย ล.อ.บ. จะใช้เวลานานมากในการตกตะกอน

ก้อนลิม คือประมาณ 2-4 สัปดาห์ (ไม่ได้แสดงผลการทดลอง) ยกเว้นสายพันธุ์ BA ซึ่งเป็นหัวเชื้อโยเกิร์ตจากประเทศเกาหลีที่ใช้เวลา 18-24 ชั่วโมงในการตกตะกอนก้อนลิมในน้ำมันพว่องมันเนย แต่เมื่อมีการถ่าย ล.อ.บ. ลงในน้ำมันพว่องมันเนยบ่อยๆ พบว่า ล.อ.บ. จะสามารถตกตะกอนก้อนลิมในน้ำมันพว่องมันเนยได้เร็วประมาณ 1-10 วัน ผลการทดลองแสดงในตารางที่ 3.3

จากตารางที่ 3.3 พบว่า ล.อ.บ. ที่สามารถตกตะกอนเป็นลิมได้เร็วที่สุด (1 วัน) ได้แก่สายพันธุ์ BA ที่แยกได้จากหัวเชื้อโยเกิร์ตจากเกาหลี ส่วนสายพันธุ์ BL และ AE ที่แยกได้จากนมไม้คอง ตลาดห้วยขวาง และ ผักคอง ตลาดศรีษะเกษ ตามลำดับ สามารถตกตะกอนก้อนลิมในนมพว่องมันเนยได้รองลงมา (2 วัน) จะนำมาศึกษาต่อเพื่อหาความเป็นไปได้ในการเป็นหัวเชื้อในการอุตสาหกรรมนม เช่น การผลิตโยเกิร์ตแทนการสั่งซื้อหัวเชื้อจากต่างประเทศ และตรวจวัดความสามารถในการสร้างสารต่อต้านจุลิน

3.2 การคัดเลือกแลคติกแอซิดแบคทีเรียที่สามารถยับยั้งเชื้อทดสอบ

3.2.1 การทดสอบความสามารถในการยับยั้งเชื้อทดสอบบนอาหารเลี้ยงเชื้อแข็งนิวเทรียนท์

การทดสอบความสามารถในการยับยั้งเชื้อทดสอบที่มี *E. coli* เป็นตัวแทนของกลุ่มแบคทีเรียแกรมลบรูปแท่ง, *B. subtilis* เป็นตัวแทนของกลุ่มแบคทีเรียแกรมบวกรูปแท่ง และ *S. aureus* เป็นตัวแทนของกลุ่มแบคทีเรียแกรมบวกรูปกลม โดยวิธีการเปรียบเทียบความกว้างของบริเวณใส (Clear Zone) ที่เกิดขึ้นจากการยับยั้งเชื้อทดสอบในวุ้นเพาะเชื้อแข็งนิวเทรียนท์ (Agar Diffusion) ที่มี 0.004 % บรอมคลีซอลเพอร์เฟลเป็นอินดิเคเตอร์โดยนำส่วนน้ำไลของ ล.อ.บ. ที่แยกจากอาหารหมักคองและวัดค่าความเป็นกรดต่างพบว่าอยู่ในช่วง 3.3-4.0 ทำตามวิธีการทดลองในข้อ 2.4.1 พบว่า ส่วนน้ำไลของ ล.อ.บ. ที่แยกจากอาหารหมักทุกสายพันธุ์สามารถยับยั้งการเจริญของเชื้อทดสอบได้ทั้ง 3 ชนิดไม่แตกต่างกัน โดยการเกิดบริเวณใสรอบๆหลุมที่ห้อยด้วยส่วนน้ำไลของ ล.อ.บ. ซึ่งเปลี่ยนสีของอาหารเลี้ยงเชื้อที่มีบรอม

คลีซอลเพอเฟิลเป็นอินดิเคเตอร์จากสีม่วงเป็นสีเหลือง ผลการทดลองแสดงในตารางที่ 3.4 และ รูปที่ 3.4

การทดสอบความสามารถในการยับยั้งเชื้อทดสอบโดยกรดแลคติก กรดไฮโดรคลอริก และกรดอะซิติก ที่ความเข้มข้น 300, 200, 100 และ 50 มิลลิโมลาร์ ต่อเชื้อทดสอบ *E. coli*, *B. subtilis* และ *S. aureus* พบว่า ความเข้มข้นของกรดมากขึ้นจะทำให้ความกว้างของบริเวณใสมากขึ้นด้วย ผลการทดลองแสดงในตารางที่ 3.5 และรูปที่ 3.5-3.7 โดยปริมาณกรดที่แลคติกแอซิดแบคทีเรียสร้างขึ้นจะอยู่ในช่วง 50-300 mM ซึ่งการสร้างกรดมากหรือน้อย จะขึ้นอยู่กับแต่ละสายพันธุ์ของแลคติกแอซิดแบคทีเรีย

3.2.2 การทดสอบความสามารถในการยับยั้งเชื้อทดสอบในอาหารเหลว

การทดสอบความสามารถในการยับยั้งเชื้อทดสอบ *E. coli*, *B. subtilis* และ *S. aureus* โดยวิธีการเปรียบเทียบเวลาการเพิ่มจำนวนเป็นสองเท่า (Doubling Time) ในอาหารเลี้ยงเชื้อเหลวตามวิธีในข้อ 2.4.2 พบว่า ส่วนน้ำใสของ ล.อ.บ. ที่แยกจากอาหารหมักทุกสายพันธุ์ และมีระดับความเป็นกรดต่างในช่วง 3.3-4.0 จะสามารถยับยั้งการเจริญของเชื้อทดสอบได้ทั้ง 3 ชนิด ผลการทดลองแสดงในรูปที่ 3.8-3.13

3.3 การคัดเลือกแลคติกแอซิดแบคทีเรียที่สร้างสารต่อต้านจุลินทรีย์

3.3.1 การทดสอบการสร้างสารต่อต้านจุลินทรีย์ของ ล.อ.บ. บนอาหารเลี้ยงเชื้อแข็งนิวเทรียนท์

การทดสอบความสามารถในการยับยั้งเชื้อทดสอบที่มี *E. coli*, *B. subtilis* และ *S. aureus* โดยวิธีการเปรียบเทียบความกว้างของบริเวณใสที่เกิดจากการยับยั้งเชื้อทดสอบในวันเพาะเชื้อ (Agar Diffusion) โดยนำส่วนน้ำใสของ ล.อ.บ. ที่แยกจากอาหาร

หมักดอง ปรับให้มีความเป็นกรดต่าง 6.5 ด้วยสารละลายโซเดียมไฮดรอกไซด์ความเข้มข้น 1 N มาทดสอบตามวิธีการในข้อ 2.5 พบว่ามีเฉพาะสายพันธุ์ BL เท่านั้นที่สามารถให้บริเวณใสกับเชื้อทดสอบ *B. subtilis* ขนาด 3.0 มม. ผลการทดลองแสดงในรูปที่ 3.14 ส่วน ล.อ.บ. ตัวอื่นๆไม่ให้บริเวณใสรอบๆหลุมทดสอบ

3.3.2 การทดสอบการสร้างสารต่อต้านจุลินทรีย์ของ ล.อ.บ. ในอาหารเลี้ยงเชื้อเหลว

การทดสอบความสามารถในการยับยั้งเชื้อทดสอบ *E. coli*, *B. subtilis* และ *S. aureus* โดยเปรียบเทียบเวลาการเพิ่มจำนวนเป็น 2 เท่า (Doubling Time) ของเชื้อทดสอบในอาหารเลี้ยงเชื้อเหลวตามวิธีในข้อ 2.5 โดยสุ่มคัดเลือก ล.อ.บ. 10 ตัว ที่ให้ระยะเวลาในการตกตะกอนก่อนล้นในน้ำนมพร้อมมันเนยต่างกันคือ BA (1 วัน); BL, AE (2 วัน); AK (3 วัน); M6B, S1 (4 วัน); AJ (5 วัน); 83* (6 วัน); A3M (7 วัน); AI (10 วัน) พบว่า ล.อ.บ. สามารถหน่วงเหนี่ยวการเจริญของเชื้อทดสอบได้ ผลการทดลองแสดงในตารางที่ 3.6 และรูปที่ 3.8-3.13 โดยที่ ล.อ.บ. สายพันธุ์ BL สามารถหน่วงเหนี่ยวการเจริญของเชื้อทดสอบได้มากที่สุดคือ 3.92, 3.96 และ 2.70 เท่าใน *E. coli*, *B. subtilis* และ *S. aureus* ตามลำดับเมื่อเทียบกับตัวควบคุม

การพิจารณาค่าการตกตะกอนแสงของส่วนน้ำใสของ ล.อ.บ. ที่มีค่าความเป็นกรดต่าง 3.3-4.0 และ 6.5 เมื่อรวมกับจุลินทรีย์ทดสอบทั้ง 3 ชนิด พบว่าเมื่อนำส่วนน้ำใสของ ล.อ.บ. ที่มีค่าความเป็นกรดรวมกับจุลินทรีย์ทดสอบ จะมีตะกอนขุ่นเกิดขึ้นทำให้ค่าการตกตะกอนแสงสูงกว่าเมื่อนำส่วนน้ำใสของ ล.อ.บ. ที่มีค่าความเป็นกรดต่าง 6.5 รวมกับจุลินทรีย์ทดสอบที่สภาวะเดียวกันทุกอย่าง ผลการทดลองแสดงในรูปที่ 3.8-3.13

การทดลองดังกล่าวจะเห็นได้ว่าการปั่นแยกเซลล์ *Lactobacillus* sp. ออกจากน้ำเลี้ยงเชื้อโดยการปั่นเหวี่ยงที่ความเร็วสูงภายใต้อุณหภูมิต่ำ ปรับให้มีความเป็นกรดต่าง 6.5 จะให้ผลในการหน่วงเหนี่ยวการเจริญของเชื้อทดสอบ ซึ่งจะเห็นผลได้จากการทดสอบในอาหารเลี้ยงเชื้อเหลวโดยวิธี Tube Test ซึ่งไม่สามารถตรวจสอบการหน่วงเหนี่ยวการเจริญของเชื้อทดสอบได้โดยการทดสอบบนอาหารเลี้ยงเชื้อแข็ง ดังนั้นจึงเลือกใช้วิธีการทดสอบโดย Tube Test เพื่อการศึกษาการสร้างสารต่อต้านจุลินทรีย์โดย ล.อ.บ. ในลำดับต่อไป

3.4 การติดตามการเจริญของ *Lactobacillus* sp. สายพันธุ์ BL

ได้ติดตามการเจริญของ *Lactobacillus* sp. สายพันธุ์ BL ซึ่งเป็นสายพันธุ์ที่สามารถหน่วงเหนี่ยวการเจริญของเชื้อทดสอบ *E. coli*, *B. subtilis* และ *S. aureus* ได้มากกว่า ล.อ.บ. สายพันธุ์อื่นๆ และจะนำไปใช้ในการศึกษาการสร้างสารต่อต้านจุลินทรีย์ในลำดับต่อไป พบว่าสายพันธุ์ BL มีเวลาการเพิ่มจำนวนเป็นสองเท่า เท่ากับ 5.63 ชม. ผลการทดลองแสดงในรูปที่ 3.15

3.5 การศึกษาสภาวะที่เหมาะสมในการเลี้ยงแลคติกแอซิดแบคทีเรียเพื่อสร้างสารต่อต้านจุลินทรีย์

3.5.2 การศึกษาระยะเวลาการเลี้ยง ล.อ.บ. ที่เหมาะสมต่อการสร้างสารต่อต้านจุลินทรีย์

การทดสอบความสามารถในการหน่วงเหนี่ยวเชื้อทดสอบ *E. coli*, *B. subtilis* และ *S. aureus* โดยการนำส่วนน้ำใสจากการเลี้ยง *Lactobacillus* sp. สายพันธุ์ BL และ AE ที่ระยะเวลาในการเลี้ยงเชื้อ 12, 24 และ 36 ชั่วโมง ปรับให้มีความเป็นกรดต่าง 6.5 แล้วนำมาทดสอบความสามารถในการหน่วงเหนี่ยวการเจริญของเชื้อทดสอบโดยวิธี Tube Test วัดค่าการดูดกลืนแสงของเซลล์แขวนลอยของจุลินทรีย์ทดสอบ ที่ความยาวคลื่น 660 นาโนเมตร และหาเวลาการเพิ่มจำนวนเป็นสองเท่า พบว่าส่วนน้ำใสที่ปรับให้มีความเป็นกรดต่าง 6.5 ของสายพันธุ์ BL ที่มีอายุ 36 ชม. จะสามารถหน่วงเหนี่ยวการเจริญของเชื้อทดสอบทั้ง *E. coli*, *B. subtilis* และ *S. aureus* แต่ส่วนน้ำใสที่มีอายุ 12 และ 24 ชม. พบว่านอกจากจะไม่หน่วงเหนี่ยวการเจริญของเชื้อทดสอบแล้ว ยังมีผลในการเร่งการเจริญของเชื้อทดสอบทั้ง 3 ชนิด ผลการทดลองแสดงในตารางที่ 3.7 และ รูปที่ 3.16 ดังนั้นเราจึงเลือกใช้ระยะเวลาในการเลี้ยงเชื้อเพื่อสร้างสารต่อต้านจุลินทรีย์ที่ 36 ชม. สำหรับการศึกษาในลำดับต่อไป

นอกจากนี้ส่วนน้ำใสของ ล.อ.บ. สายพันธุ์ BL ที่ไม่ได้รับค่าความเป็นกรดต่าง ที่ระยะเวลาการเลี้ยงเชื้อ 12, 24 และ 36 ชั่วโมง ก็นำมาทดสอบความสามารถในการหน่วง เห็นยวการเจริญของเชื้อทดสอบโดยวิธี Tube Test ด้วย พบว่าส่วนน้ำใสของสายพันธุ์ BL ที่มีระยะเวลาการเลี้ยงเชื้อ 12 ชม. มีค่าความเป็นกรดต่าง 5.91 พบว่าจะสามารถหน่วง เห็นยวการเจริญของเชื้อทดสอบได้เป็น 2.0 และ 1.14 เท่าใน *E. coli* และ *B. subtilis* ตามลำดับ แต่ไม่สามารถหน่วงเห็นยวการเจริญของเชื้อทดสอบ *S. aureus* ในขณะที่ส่วนน้ำใสของสายพันธุ์ BL ที่ 24 และ 36 ชม. มีค่าความเป็นกรดต่าง 4.5 และ 3.5 ตามลำดับ จะสามารถยับยั้งการเจริญของเชื้อทดสอบได้ทั้ง 3 ชนิด ผลการทดลองแสดง ในตารางที่ 3.8 และ รูปที่ 3.18

เมื่อนำส่วนน้ำใสของ ล.อ.บ. สายพันธุ์ AE ที่ปรับให้มีค่าความเป็นกรดต่าง 6.5 ที่ระยะเวลาการเลี้ยงเชื้อ 12, 24 และ 36 ชั่วโมง มาทดสอบความสามารถในการหน่วง เห็นยวการเจริญของเชื้อทดสอบโดยวิธี Tube Test พบว่า ทุกๆ ระยะเวลาการเลี้ยง ล.อ.บ. จะไม่สามารถหน่วงเห็นยวการเจริญของเชื้อทดสอบทั้ง 3 ชนิด แต่จะมีผลในการเร่งการเจริญของเชื้อทดสอบด้วย ผลการทดลองแสดงในตารางที่ 3.7 และ รูปที่ 3.17 สำหรับส่วนน้ำใสที่ไม่ได้ปรับค่าความเป็นกรดต่างที่ระยะเวลาการเลี้ยงเชื้อ 12, 24 และ 36 ชั่วโมง เมื่อนำมาทดสอบความสามารถในการหน่วงเห็นยวการเจริญของเชื้อทดสอบ พบว่าส่วนน้ำใสของ ล.อ.บ. สายพันธุ์ AE ที่ 12 ชม. มีค่าความเป็นกรดต่าง 6.84 จะไม่สามารถหน่วงเห็นยวการเจริญของเชื้อทดสอบทั้ง 3 ชนิด ในขณะที่ส่วนน้ำใสของ ล.อ.บ. สายพันธุ์ AE ที่ 24 และ 36 ชม. มีค่าความเป็นกรดต่าง 4.48 และ 3.45 ตามลำดับ จะสามารถยับยั้งการเจริญของเชื้อทดสอบได้ทั้ง 3 ชนิด ผลการทดลองแสดงในตารางที่ 3.8 และรูปที่ 3.19

จุฬาลงกรณ์มหาวิทยาลัย

3.6 การทำสารต่อต้านจุลินทรีย์ให้เข้มข้นขึ้น

3.6.1 การทำไดอะไลซิส (Dialysis)

การนำส่วนน้ำใสของแลคติกแอซิดแบคทีเรียสายพันธุ์ BL, BA, AE, M68 และ 1.1M ที่มีค่าความเป็นกรดต่าง 6.5 มาทำให้เข้มข้นขึ้นโดยวิธีไดอะไลซิส จากนั้นนำมาทำการทดสอบความสามารถในการหน่วงเหนี่ยวการเจริญของเชื้อทดสอบโดยวิธี Tube Test วัดค่าการดูดกลืนแสงของเซลล์แขวนลอยของจุลินทรีย์ทดสอบที่ความยาวคลื่น 660 นาโนเมตร และหาเวลาการเพิ่มจำนวนเป็นสองเท่า พบว่าส่วนน้ำใสของ ล.อ.บ. ทุกสายพันธุ์ที่ผ่านขบวนการไดอะไลซิส สามารถหน่วงเหนี่ยวการเจริญของเชื้อทดสอบ *B. subtilis* ได้เพิ่มมากขึ้น ส่วนการหน่วงเหนี่ยวการเจริญในเชื้อทดสอบ *E. coli* และ *S. aureus* จะให้ผลการหน่วงเหนี่ยวการเจริญของเชื้อทดสอบใกล้เคียงกับส่วนน้ำใสที่ไม่ผ่านการทำไดอะไลซิส โดยที่ส่วนน้ำใสของ ล.อ.บ. บางสายพันธุ์ เช่นสายพันธุ์ BA สามารถหน่วงเหนี่ยวการเจริญของเชื้อทดสอบได้เพิ่มมากขึ้น ผลการทดลองแสดงในตารางที่ 3.9 และรูปที่ 3.20 และ 3.21

3.6.2 การทำแห้งในภาวะเยือกแข็ง

การนำส่วนน้ำใสของแลคติกแอซิดแบคทีเรียสายพันธุ์ BL, BA, AE และ M68 ที่มีค่าความเป็นกรดต่าง 6.5 มาทำแห้งในภาวะเยือกแข็งเพื่อลดปริมาตรเพิ่มความเข้มข้นจากนั้นนำมาทดสอบความสามารถในการหน่วงเหนี่ยวการเจริญของเชื้อทดสอบโดยวิธี Tube Test วัดค่าการดูดกลืนแสงของเซลล์แขวนลอยของจุลินทรีย์ทดสอบ ที่ความยาวคลื่น 660 nm และหาเวลาการเพิ่มจำนวนเจริญเป็นสองเท่า พบว่าส่วนน้ำใสของ ล.อ.บ. ที่ผ่านการทำให้แห้งในภาวะเยือกแข็ง สามารถหน่วงเหนี่ยวการเจริญของเชื้อทดสอบทั้ง 3 ชนิดได้เพิ่มมากขึ้น ตารางแสดงผลการทดลองที่ 3.10 และ รูปที่ 3.22

3.7 การทำสารต่อต้านจุลินทรีย์บริสุทธิ์

3.7.1 การแยกสารต่อต้านจุลินทรีย์โดยการตกตะกอนด้วยแอมโมเนียมซัลเฟต

นำน้ำเลี้ยงเซลล์ ล.อ.บ. สายพันธุ์ BL มาปั่นแยกเซลล์ออกตามวิธีในข้อ 2.10.1 แล้วจึงนำส่วนน้ำใสที่ได้ปรับให้มีความเป็นกรดต่าง 6.5 นำไปตกตะกอนแยกสารต่อต้านจุลินทรีย์ด้วยแอมโมเนียมซัลเฟตในความเข้มข้น 0-40, 40-70 และ 70-90 % ตามลำดับ หลังจากนั้นนำแต่ละลำดับส่วนไปปั่นแยกตะกอนสารต่อต้านจุลินทรีย์ตามวิธีในข้อ 2.10.2 ละลายตะกอนในแต่ละลำดับส่วนใน 50 mM ฟอสเฟตบัฟเฟอร์ที่มีความเป็นกรดต่าง 6.5 และนำมาทดสอบความสามารถในการหน่วงเหนี่ยวการเจริญของเชื้อทดสอบโดยวิธี Tube Test พบว่าสารต่อต้านจุลินทรีย์ที่ตกตะกอนแอมโมเนียมซัลเฟตในช่วง 40-70 % จะมีฤทธิ์ในการหน่วงเหนี่ยวการเจริญของเชื้อทดสอบเป็น 2.4, 2.47 และ 2.1 เท่าของตัวควบคุมใน *E. coli*, *B. subtilis* และ *S. aureus* ตามลำดับ ซึ่งการหน่วงเหนี่ยวการเจริญของเชื้อทดสอบของสารที่ตกตะกอนแอมโมเนียมซัลเฟตในช่วงอื่นจะต่ำกว่า ผลการทดลองแสดงในตารางที่ 3.11 และ รูปที่ 3.23-3.25

3.7.2 การแยกสารต่อต้านจุลินทรีย์โดยการทำโครมาโตกราฟี

3.7.2.1 การทำให้บริสุทธิ์โดยคอลัมน์ดีไอเออี-เซฟาเดกซ์ เอ-50

นำส่วนของสารต่อต้านจุลินทรีย์ที่ตกตะกอนในช่วง 40-70 % แอมโมเนียมซัลเฟต ของ ล.อ.บ. สายพันธุ์ BL และผ่านการทำให้บริสุทธิ์โดยวิธีในข้อ 2.10.2 จากนั้นนำมาทำให้บริสุทธิ์เพิ่มขึ้นโดยวิธีโครมาโตกราฟีดีไอเออี-เซฟาเดกซ์ เอ-50 ซึ่งเป็นตัวกลางแลกเปลี่ยนประจุลบ (Anion Exchanger) ซึ่งขั้นตอนนี้เป็น การกำจัดโปรตีนอื่นๆที่มีประจุตรงข้ามกับสารต่อต้านจุลินทรีย์ออกไป และยังมี การกำจัดโปรตีน

ที่มีประจุต่างกับสารต่อต้านจุลินทรีย์หลายๆ ออกด้วย โดยการเพิ่มความเข้มข้นของเกลือโซเดียมคลอไรด์ที่ต่างกัน ตามวิธีการในข้อ 2.10.3 แล้วนำลำดับส่วนที่มีโปรตีนไปทดสอบความสามารถในการหน่วงเหนี่ยวการเจริญของเชื้อทดสอบด้วยวิธี Tube Test วัดค่าการดูดกลืนแสงของเซลล์แขวนลอยของจุลินทรีย์ทดสอบที่ความยาวคลื่น 660 นาโนเมตร และหาเวลาการเพิ่มจำนวนเป็นสองเท่า ผลการทดลองพบว่าสารต่อต้านจุลินทรีย์จะถูกชะออกมาจากคอลัมน์ในลำดับที่ 65-67 ที่มีความเข้มข้นของโซเดียมคลอไรด์ 200-300 มิลลิโมลาร์ ซึ่งสามารถยับยั้งการเจริญของเชื้อทดสอบ *B. subtilis* และสามารถหน่วงเหนี่ยวการเจริญของ *E. coli* และ *S. aureus* ได้เป็น 2.0 และ 2.57 เท่าในตัวอย่างตามลำดับ ในขณะที่ส่วนที่ถูกชะออกจากคอลัมน์ในลำดับที่ 5-7 จะไม่สามารถหน่วงเหนี่ยวการเจริญของเชื้อทดสอบเลย ผลการทดลองแสดงในตารางที่ 3.12 และ รูปที่ 3.26-3.27

3.7.2.2 การทำให้บริสุทธิ์โดยคอลัมน์เซฟาเดกซ์ จี-75

นำส่วนของสารต่อต้านจุลินทรีย์ที่ออกจากคอลัมน์ดีไอเออี-เซฟาเดกซ์ เอ-50 ในลำดับส่วน 65-67 ที่ให้ผลในการยับยั้งการเจริญของ *B. subtilis* และสามารถหน่วงเหนี่ยวการเจริญของเชื้อทดสอบ *E. coli* และ *S. aureus* ซึ่งแขวนลอยอยู่ใน 0.05 M ฟอสเฟตบัฟเฟอร์ มีความเป็นกรดต่าง 6.5 ลงในคอลัมน์เซฟาเดกซ์ จี-75 ซึ่งขั้นตอนนี้เป็น การแยกโปรตีนที่มีขนาดต่างจากสารต่อต้านจุลินทรีย์ออกไป แล้วนำลำดับส่วนที่มีโปรตีนไป ทดสอบความสามารถในการหน่วงเหนี่ยวการเจริญของเชื้อทดสอบโดยวิธี Tube Test วัดค่าการดูดกลืนแสงของเซลล์แขวนลอยของจุลินทรีย์ทดสอบที่ความยาวคลื่น 660 นาโนเมตร และหาเวลาการเพิ่มจำนวนเป็นสองเท่า พบว่าสารต่อต้านจุลินทรีย์จะออกจากคอลัมน์ในลำดับส่วนที่ 37-39 ซึ่งสามารถยับยั้งการเจริญของ *B. subtilis* ผลการทดลองแสดงในรูปที่ 3.28-3.29

3.7.2.3 การหาน้ำหนักโมเลกุลของสารต่อต้านจุลชีพโดยวิธีอิเล็กโตรโฟรีซิสบนโซเดียมโดเดซิลซัลเฟตโพลีอะครีลาไมด์เจล

นำสารต่อต้านจุลชีพในขั้นตอนต่างๆของการทำให้บริสุทธิ์ มาศึกษาองค์ประกอบหน่วยย่อยของโปรตีน โดยการใช้อิเล็กโตรโฟรีซิสบนโซเดียมโดเดซิลซัลเฟตโพลีอะครีลาไมด์เจล ตามวิธีในข้อ 2.10.5 ผลการทดลองแสดงในรูปที่ 3.30 พบว่าสารต่อต้านจุลชีพในลำดับสุดท้ายที่ผ่านออกจากคอลัมน์เซฟาเดกซ์ จี-75 จะมีจำนวนโปรตีนเพียง 2 แถบ เมื่อเปรียบเทียบกับโปรตีนมาตรฐานคาดว่าน้ำหนักโมเลกุลประมาณ 33,000 และ 43,000 ดาลตัน และเมื่อย่อยด้วยเอนไซม์โปรติเอส ไลเปส และอะไมเลส คาดว่าสารต่อต้านจุลชีพน่าจะเป็นสารประเภทไลโปโปรตีน (Lipoprotein)

3.8 การทดสอบด้วยประสาทสัมผัส (Sensory Test)

ได้คัดเลือกแลคติกแอซิดแบคทีเรียจากอาหารหมักที่สามารถสร้างสารต่อต้านจุลชีพ และใช้เวลาในการตกตะกอนก่อนลิ้มในน้ำมันพว่องมันเนย 2 วัน ซึ่งได้แก่ *Lactobacillus* sp. สายพันธุ์ BL ที่แยกได้จากหน่อไม้ดอง ตลาดห้วยขวาง เป็นหัวเชื้อในการเตรียมโยเกิร์ต และทดสอบโยเกิร์ตที่ได้ด้วยประสาทสัมผัส โดยใช้ผู้ทดสอบที่เคยรับประทานโยเกิร์ตจำนวน 20 คน เปรียบเทียบลักษณะของสี กลิ่น เนื้อสัมผัส รสชาติ และการยอมรับรวมของโยเกิร์ตควบคุมที่มีจำหน่ายในท้องตลาดกับโยเกิร์ตทดสอบที่ผลิตจาก ล.อ.บ. สายพันธุ์ BA, BL และหัวเชื้อโยเกิร์ตควบคุมที่ผลิตในกรรมวิธีเดียวกับในห้องปฏิบัติการ ผลการทดลองแสดงในตารางที่ 3.13

จากตารางแสดงให้เห็นว่า เมื่อให้โยเกิร์ตที่จำหน่ายในท้องตลาดมีคะแนนการทดสอบเต็ม 10 คะแนน เมื่อเปรียบเทียบลักษณะ สี และ เนื้อสัมผัส ของโยเกิร์ตจะพบว่า โยเกิร์ตที่ทำจาก ล.อ.บ. สายพันธุ์ BL บ่มนาน 21 ชม. จะมีการยอมรับสูงสุดเท่ากับ 7.33 และ 7.07 ตามลำดับ และเมื่อเปรียบเทียบการยอมรับรวมของโยเกิร์ตทั้งหมดพบว่า มีค่าการยอมรับที่ใกล้เคียงกันประมาณ 5.33

ตารางที่ 3.1 แสดงชนิดของตัวอย่างอาหารและสถานที่เก็บตัวอย่างของแบคทีเรียที่คัด
เลือกได้ 50 สายพันธุ์

ชื่อที่แยกได้	คัดแยกจาก	สถานที่เก็บตัวอย่าง
M68	หน่อไม้ดอง	ตลาดบางซื่อ, กรุงเทพฯ
17*	หน่อไม้ดอง	ตลาดบางซื่อ, กรุงเทพฯ
10	หน่อไม้ดอง	ตลาดสามย่าน, กรุงเทพฯ
14	หน่อไม้ดอง	ตลาดสามย่าน, กรุงเทพฯ
69	หน่อไม้ดอง	ตลาดท่าช้างนนทบุรี, กรุงเทพฯ
3	หน่อไม้ดอง	ตลาดท่าช้างนนทบุรี, กรุงเทพฯ
6	หน่อไม้ดอง	ตลาดท่าช้างนนทบุรี, กรุงเทพฯ
BL	หน่อไม้ดอง	ตลาดห้วยขวาง, กรุงเทพฯ
4	หน่อไม้ดอง	ตลาดห้วยขวาง, กรุงเทพฯ
39	หน่อไม้ดอง	ตลาดห้วยขวาง, กรุงเทพฯ
AK1	หน่อไม้ดอง	ตลาดเทเวศน์, กรุงเทพฯ
38	หน่อไม้ดอง	ตลาดเทเวศน์, กรุงเทพฯ
22	ผักกาดดอง	ตลาดสามย่าน, กรุงเทพฯ
26	ผักกาดดอง	ตลาดสามย่าน, กรุงเทพฯ
S1	ผักกาดดอง	ตลาดสามย่าน, กรุงเทพฯ
21	ผักกาดดอง	ตลาดปิ่น, กรุงเทพฯ
31	ผักกาดดอง	ตลาดปิ่น, กรุงเทพฯ
19	ผักกาดดอง	ตลาดสะพานใหม่ตอนเมือง, กรุงเทพฯ
27*	ผักกาดดอง	ตลาดสะพานใหม่ตอนเมือง, กรุงเทพฯ

ตารางที่ 3.1 (ต่อ)

เชื้อที่แยกได้	คัดแยกจาก	สถานที่เก็บตัวอย่าง
70	ผักกาดทอง	ตลาดห้วยขวาง, กรุงเทพฯ
23	ผักกาดทอง	ตลาดห้วยขวาง, กรุงเทพฯ
29	ผักกาดทอง	ตลาดบางกระบือ, กรุงเทพฯ
31*	ผักกาดทอง	ตลาดบางกระบือ, กรุงเทพฯ
27	ผักกาดทอง	ตลาดเทเวศน์, กรุงเทพฯ
32	ผักกาดทอง	ตลาดเทเวศน์, กรุงเทพฯ
13	ผักกาดทอง	ตลาดอุทัยธานี, อุทัยธานี
71	ผักกาดทอง	ตลาดอุทัยธานี, อุทัยธานี
33*	ผักกาดทอง	ตลาดสุนทรบุรี, สุนทรบุรี
55	ผักทอง	ตลาดห้วยขวาง, กรุงเทพฯ
AE	ผักทอง	ตลาดศรียาน, กรุงเทพฯ
56	ผักทอง	ตลาดสะพานใหม่ดอนเมือง, กรุงเทพฯ
66	ผักทอง	ตลาดอุทัยธานี, อุทัยธานี
41	หนมดอนเมือง	ตลาดอุทัยธานี, อุทัยธานี
A1	หนมดอนเมือง	ตลาดศรียาน, กรุงเทพฯ
A3M	หนมบ้าน	ตลาดเชียงใหม่, เชียงใหม่
45	หนมบ้าน	ตลาดเชียงใหม่, เชียงใหม่
35	หนม	ตลาดศรียาน, กรุงเทพฯ
B60	หนม	ตลาดศรียาน, กรุงเทพฯ

ตารางที่ 3.1 (ต่อ)

เชื้อที่แยกได้	คัดแยกจาก	สถานที่เก็บตัวอย่าง
2*	ແໜມ	ตลาดห้วยขวาง, กรุงเทพฯ
4B	ແໜມ	ตลาดห้วยขวาง, กรุงเทพฯ
B35	ไส้กรอกอีสาน	ตลาดห้วยขวาง, กรุงเทพฯ
43	ไส้กรอกอีสาน	ตลาดศรียาน, กรุงเทพฯ
65	ไส้กรอกอีสาน	ตลาดบางกระบือ, กรุงเทพฯ
65*	ไส้กรอกอีสาน	ตลาดสะพานใหม่ดอนเมือง, กรุงเทพฯ
1.1M	ไส้กรอกอีสาน	ตลาดราชวัตร, กรุงเทพฯ
AJ	ไส้กรอกอีสาน	ตลาดอูทัยธานี, อูทัยธานี
5	ไส้กรอกอีสาน	ตลาดสุนทรบุรี, สุนทรบุรี
57	ถั่วงอกคอง	ตลาดศรียาน, กรุงเทพฯ
A1	ถั่วงอกคอง	ตลาดบางกระบือ, กรุงเทพฯ
BA	หัวเชื้อโยเกิร์ต	ประเทศเกาหลี

ศูนย์วิทยาศาสตร์สุขภาพ
จุฬาลงกรณ์มหาวิทยาลัย

ตารางที่ 3.2 แสดงผลการทดสอบการใช้คาร์โบไฮเดรตของ *Lactobacillus* sp. ที่แยกได้จากตัวอย่างอาหารต่างๆ

เชื้อที่แยกได้	Amygdalin	Arabinose	Cellulose	Esculin	Fructose	Galactose	Glucose	Glucosate	Lactase	Maltose	Mannitol	Kannose	Melzitose	Melibiose	Raffinose	Rhamnose	Ribose	Salicin	Sorbitol	Sucrose	Trehalose	Xylose	ความน่าจะเป็น ของชนิด สายพันธุ์
14	p	+	+	+	+	+	+	-	+	+	p	+	-	+	+	-	+	p	-	+	d	-	<i>L. murinus</i>
BA	-	-	-	-	+	+	+	-	+	-	-	-	-	-	-	-	-	-	-	-	-	-	<i>L. casei</i> subsp. tolerance
M68, 56	+	+	+	+	+	+	+	+	+	+	+	+	-	+	-	+	+	+	+	+	+	+	<i>L. pentosus</i>
A3M, 45, 2*, 48, 43, 65, 65*	d	d	+	+	+	+	+	-	+	+	-	+	-	+	+	-	-	+	-	+	-	-	<i>L. animalis</i>
17*, 10, 69, 22, 39, 6, B1, AK1, 38, 4, 3, 22, 26, S1, 21, 31, 19, 27*, 70, 23, 29, 31*, 27, 32, 13, 71, 33*, 55, AE, 66, 41, A1, 35, B60, B35, 5, 1, 1M, AJ, 57, AI	+	d	+	+	+	+	+	+	+	+	+	+	-	+	+	-	+	+	+	+	+	d	<i>L. plantarum</i>

ตารางที่ 3.3 แสดงระยะเวลาในการตกตะกอนก้อนลิ่มในน้ำมันพร่องมันเนยของแลคติก แอลลิตแบคทีเรียที่แยกได้จากอาหารหมัก

ระยะเวลา (วัน)	<i>Lactobacillus</i> sp. สายพันธุ์
1	BA
2	BL, AE
3	39, AK1, 38, 19, 56, 66, 35
4	68, 6, 26, S1, 55, 65, 65*, 1.1M, 4
5	14, 3, 31, 27*, 31*, 13, 71, 41, 45, B60, 2*, AJ, 5, B35
6	23, 32, 33*
7	70, 27, A3M, 48, 43, 57
8	17*, 22, A1
10	10, 69, 21, 29, A1

ศูนย์วิทยุวิทยากร
จุฬาลงกรณ์มหาวิทยาลัย

ตารางที่ 3.4 แสดงขนาดความกว้างของบริเวณไลที่เกิดจากการยับยั้งเชื้อทดสอบโดยนำส่วนน้ำไลของแลคติกแอซิดแบคทีเรียที่ไม่ได้รับความเป็นกรดต่าง

เชื้อที่แยกได้	ความกว้างของบริเวณไล (ซม.)		
	<i>E.coli</i>	<i>B.subtilis</i>	<i>S.aureus</i>
M68	0.60	0.70	0.45
17*	0.15	0.10	0.15
10	0.50	0.60	0.60
14	0.80	0.80	0.70
69	0.70	0.70	0.50
3	0.50	0.75	0.40
6	0.50	0.80	0.70
BL	1.05	0.90	0.70
4	0.50	0.40	0.50
39	0.20	0.60	0.25
AK1	1.00	0.90	0.55
38	0.80	0.80	0.80
22	0.50	0.70	0.25
26	0.60	0.80	0.20
S1	0.50	0.60	0.50
21	0.60	0.80	0.50

ตารางที่ 3.4 (ต่อ)

เชื้อที่แยกได้	ความกว้างของบริเวณใส (ซม.)		
	<i>E.coli</i>	<i>B.subtilis</i>	<i>S.aureus</i>
31	0.20	0.40	0.20
19	0.72	0.65	0.20
27*	0.15	0.15	0.10
70	0.15	0.15	0.10
23	0.15	0.15	0.10
29	0.80	0.70	0.30
31*	0.15	0.15	0.10
27	0.65	0.65	0.50
32	0.30	0.30	0.20
13	0.20	0.50	0.25
71	0.40	0.60	0.30
33*	0.15	0.15	0.15
AE	0.75	0.50	0.80
56	0.45	0.75	0.70
66	0.50	0.80	0.80
41	0.35	0.65	0.40
A1	0.50	0.80	0.35
A3M	0.45	0.80	0.40

ตารางที่ 3.4 (ต่อ)

เชื้อที่แยกได้	ความกว้างของบริเวณใส (ซม.)		
	<i>E.coli</i>	<i>B.subtilis</i>	<i>S.aureus</i>
45	0.70	0.70	0.35
35	0.55	0.65	0.40
B60	0.40	0.70	0.60
2*	0.45	0.80	0.70
48	0.70	0.80	0.70
B35	0.45	0.60	0.30
43	0.50	0.20	0.30
65	0.25	0.45	0.15
65*	0.45	0.50	0.30
1.1M	0.30	0.70	0.50
AJ	0.50	0.75	0.60
5	0.30	0.50	0.20
57	0.50	0.70	0.40
AI	0.60	0.75	0.45
BA	0.85	0.80	0.65

ตารางที่ 3.5 แสดงขนาดความกว้างของบริเวณใสที่เกิดจากการยับยั้งเชื้อทดสอบโดยกรดแลคติก กรดไฮโดรคลอริก และกรดอะซิติก

เชื้อทดสอบ	ความกว้างของบริเวณใส (ซม.)											
	กรดแลคติก (mM)				กรดไฮโดรคลอริก (mM)				กรดอะซิติก (mM)			
	300	200	100	50	300	200	100	50	300	200	100	50
<i>E. coli</i>	1.00	0.75	0.40	0.10	0.90	0.80	0.30	-	1.35	1.20	0.70	0.25
<i>B. subtilis</i>	1.00	0.90	0.45	0.10	1.20	0.90	0.50	0.25	1.10	0.90	0.60	0.30
<i>S. aureus</i>	0.70	0.60	0.20	-	0.80	0.55	-	-	0.90	0.60	-	-

ศูนย์วิทยทรัพยากร
จุฬาลงกรณ์มหาวิทยาลัย

ตารางที่ 3.6 แสดงการเปรียบเทียบเวลาการเพิ่มจำนวนเป็น 2 เท่า (t_d) ของเชื้อทดสอบเมื่อใช้ส่วนน้ำไลของ ล.อ.บ. ปรับให้มีความเป็นกรดต่าง 6.5

ล.อ.บ.	เวลาการเพิ่มจำนวนเป็น 2 เท่า (ชม.)		
	<i>E. coli</i>	<i>B. subtilis</i>	<i>S. aureus</i>
control	8.03	12.71	10.27
BL	31.50 ^(3.92)	50.40 ^(3.96)	27.72 ^(2.70)
BA	16.59 ^(2.06)	35.54 ^(2.80)	27.72 ^(2.70)
M68	14.58 ^(1.81)	45.74 ^(3.6)	19.25 ^(1.87)
AE	17.32 ^(2.16)	42.64 ^(3.36)	21.32 ^(2.07)
S1	14.98 ^(1.87)	32.22 ^(2.69)	15.84 ^(1.54)
AK	13.86 ^(1.97)	21.93 ^(1.73)	14.59 ^(1.42)
33*	12.89 ^(1.61)	19.12 ^(1.5)	19.38 ^(1.89)
AJ	11.55 ^(1.44)	34.65 ^(2.8)	19.80 ^(1.93)
A3M	9.24 ^(1.15)	26.96 ^(2.12)	14.59 ^(1.42)
AI	10.27 ^(1.28)	18.48 ^(1.45)	14.14 ^(1.38)

หมายเหตุ ตัวเลขในวงเล็บคือ อัตราส่วนของเวลาการเพิ่มจำนวนเป็น 2 เท่าของเชื้อทดสอบเมื่อมีส่วนน้ำไลของล.อ.บ. มาทดสอบต่อ ส่วนน้ำไลของตัวควบคุม (t_d ล.อ.บ. / t_d ตัวควบคุม)

ตารางที่ 3.7 แสดงการเปรียบเทียบเวลาการเพิ่มจำนวนเป็น 2 เท่า (t_d) ของเชื้อทดสอบเมื่อแปรค่าระยะเวลาในการเลี้ยงเชื้อเพื่อสร้างสารต่อต้านจุลินทรีย์ และปรับส่วนน้ำไลให้มีความเป็นกรดต่าง 6.5

ระยะเวลา (ชม.)	ล.อ.บ.	เวลาการเพิ่มจำนวนเป็น 2 เท่า (t_d) (ชม.)			
		<i>E. coli</i>	<i>B. subtilis</i>	<i>S. aureus</i>	
12	control	7.62	13.27	18.73	
	BL	4.83 ^(0.63)	9.19 ^(0.70)	11.95 ^(0.64)	
		24	4.81 ^(0.63)	5.68 ^(0.43)	11.18 ^(0.60)
36		23.10 ^(3.03)	17.76 ^(1.34)	23.89 ^(1.28)	
12	AE	6.03 ^(0.80)	4.25 ^(0.32)	13.00 ^(0.69)	
		24	6.93 ^(0.91)	5.87 ^(0.44)	6.42 ^(0.34)
		36	6.36 ^(0.84)	7.70 ^(0.58)	6.08 ^(0.33)

หมายเหตุ ตัวเลขในวงเล็บคือ อัตราส่วนของเวลาการเพิ่มจำนวนเป็น 2 เท่าของเชื้อทดสอบเมื่อปรับส่วนน้ำไลของล.อ.บ. มาทดสอบต่อ ส่วนน้ำไลของตัวควบคุม ($t_{d \text{ ล.อ.บ.}} / t_{d \text{ ตัวควบคุม}}$)

ตารางที่ 3.8 แสดงการเปรียบเทียบเวลาการเพิ่มจำนวนเป็น 2 เท่า (t_d) ของเชื้อทดสอบเมื่อแปรค่าระยะเวลาในการเลี้ยงเชื้อเพื่อสร้างสารต่อต้านจุลินทรีย์

ระยะเวลา (ชม.): pH	ล.อ.บ.	เวลาการเพิ่มจำนวนเป็น 2 เท่า (t_d) (ชม.)		
		<i>E. coli</i>	<i>B. subtilis</i>	<i>S. aureus</i>
12:5.91	control	7.62	13.27	18.73
24:4.50	BL	15.23 ^(2.00)	15.23 ^(1.14)	9.18 ^(0.49)
36:3.50		-	-	-
12:6.84	AE	7.48 ^(0.98)	6.30 ^(0.47)	12.55 ^(0.67)
24:4.48		-	-	-
36:3.45		-	-	-

หมายเหตุ ตัวเลขในวงเล็บคือ อัตราส่วนของเวลาการเพิ่มจำนวนเป็น 2 เท่าของเชื้อทดสอบเมื่อนำส่วนน้ำใสของล.อ.บ. มาทดสอบต่อ ส่วนน้ำใสของตัวควบคุม (t_d ล.อ.บ. / t_d ตัวควบคุม)

ตารางที่ 3.9 แสดงการเปรียบเทียบเวลาการเพิ่มจำนวนเป็น 2 เท่า (t_d) ของเชื้อทดสอบเมื่อนำส่วนน้ำไลของ ล.อ.บ. ที่ปรับให้มีค่าความเป็นกรดต่าง 6.5 มาทำโดยไลซิส

ล.อ.บ.	เวลาการเพิ่มจำนวนเป็น 2 เท่า (t_d) (ชม.)					
	<i>E. coli</i>		<i>B. subtilis</i>		<i>S. aureus</i>	
	ND	D	ND	D	ND	D
control	6.03	7.70	10.73	9.90	10.41	1.87
BL	41.50 ^(6.9)	57.75 ^(7.6)	43.31 ^(4.2)	69.30 ^(7.0)	58.24 ^(6.6)	7.07 ^(3.8)
BA	22.36 ^(3.7)	34.65 ^(4.6)	14.59 ^(1.4)	23.10 ^(2.3)	17.59 ^(1.7)	3.90 ^(2.1)
AE	53.30 ^(8.8)	46.20 ^(6.0)	36.28 ^(3.4)	51.33 ^(6.2)	32.38 ^(3.1)	6.60 ^(3.5)
M68	47.79 ^(7.9)	47.80 ^(6.2)	42.26 ^(3.9)	66.00 ^(6.6)	46.51 ^(4.5)	6.30 ^(3.4)
1.1M	8.30 ^(1.4)	11.95 ^(1.6)	12.67 ^(1.2)	32.23 ^(3.3)	18.14 ^(1.7)	6.03 ^(3.2)

หมายเหตุ ตัวเลขในวงเล็บคือ อัตราส่วนของเวลาการเพิ่มจำนวนเป็น 2 เท่าของเชื้อทดสอบเมื่อนำส่วนน้ำไลของล.อ.บ. มาทดสอบต่อ ส่วนน้ำไลของตัวควบคุม ($t_{d\text{ ล.อ.บ.}}/t_{d\text{ ตัวควบคุม}}$)

ND = Non Dialysis

D = Dialysis

ปริมาณโปรตีนในแต่ละหลอด 7.5-8.5 มก./มล.

ตารางที่ 3.10 แสดงการเปรียบเทียบเวลาการเพิ่มจำนวนเป็น 2 เท่า (t_d) ของเชื้อทดสอบเมื่อนำส่วนน้ำใสของ ล.อ.บ. ที่ปรับให้มีความเป็นกรดต่าง 6.5 มาทำแห้งในภาวะเยือกแข็ง

ล.อ.บ.	เวลาการเพิ่มจำนวนเป็น 2 เท่า (t_d) (ชม.)		
	<i>E. coli</i>	<i>B. subtilis</i>	<i>S. aureus</i>
control	4.28	5.82	6.35
BL	37.26 ^(8.71)	33.00 ^(6.67)	33.00 ^(6.20)
BA	8.61 ^(2.01)	12.60 ^(2.16)	18.24 ^(2.87)
AE	37.66 ^(8.80)	18.48 ^(3.17)	34.65 ^(6.46)
M68	26.15 ^(6.11)	16.31 ^(2.80)	23.49 ^(3.70)
control NB	8.01 ^(1.87)	16.00 ^(2.76)	6.63 ^(1.06)

หมายเหตุ ตัวเลขในวงเล็บคือ อัตราส่วนของเวลาการเพิ่มจำนวนเป็น 2 เท่าของเชื้อทดสอบเมื่อนำส่วนน้ำใสของล.อ.บ. มาทดสอบต่อ ส่วนน้ำใสของตัวควบคุม (t_d ล.อ.บ./ t_d ตัวควบคุม)

control คือ lyophilized MRS

ปริมาณโปรตีนในแต่ละหลอด 8 มก./มล.

ตารางที่ 3.11 แสดงการเปรียบเทียบเวลาการเพิ่มจำนวนเป็น 2 เท่า (t_{2}) ของเชื้อทดสอบเมื่อนำส่วนน้ำไลของ ล.อ.บ. ที่มีค่าความเป็นกรดต่าง 6.5 มาตกตะกอนด้วยแอมโมเนียมซัลเฟต

(NH ₄) ₂ SO ₄ precipitrate (%)	เชื้อทดสอบ	เวลาการเพิ่มจำนวนเป็น 2 เท่า (t_{2}) (ชม.)		
		control	BL	BL/control
0-40	<i>E. coli</i>	45.00	83.49	1.85
	<i>B. subtilis</i>	41.25	70.71	1.71
	<i>S. aureus</i>	25.86	52.90	2.04
40-70	<i>E. coli</i>	38.50	92.40	2.40
	<i>B. subtilis</i>	40.06	99.00	2.47
	<i>S. aureus</i>	25.96	54.57	2.10
70-90	<i>E. coli</i>	39.60	52.10	1.31
	<i>B. subtilis</i>	44.43	86.63	1.95
	<i>S. aureus</i>	25.02	59.74	2.39

หมายเหตุ ตัวเลขในวงเล็บคือ อัตราส่วนของเวลาการเพิ่มจำนวนเป็น 2 เท่าของเชื้อทดสอบเมื่อนำส่วนน้ำไลของล.อ.บ. มาทดสอบต่อ ส่วนน้ำไลของตัวควบคุม (t_{2} ล.อ.บ./ t_{2} ตัวควบคุม) *ปริมาณโปรตีนในแต่ละหลอด 9 มก./มล.*

ตารางที่ 3.12 แสดงการเปรียบเทียบเวลาการเพิ่มจำนวนเป็น 2 เท่า (t_d) ของเชื้อทดสอบเมื่อนำส่วนน้ำใสของ ล.อ.บ. ผ่าน Ion Exchange Chromatography (DEAE-Sephadex A-50)

Fraction No.	เวลาการเพิ่มจำนวนเป็น 2 เท่า (t_d) (ชม.)		
	<i>E. coli</i>	<i>B. subtilis</i>	<i>S. aureus</i>
control	28.06	145.89	29.62
5-7	11.87 ^(0.42)	57.29 ^(0.39)	24.66 ^(0.83)
65-67	56.34 ^(2.00)	-	76.15 ^(2.57)

หมายเหตุ ตัวเลขในวงเล็บคือ อัตราส่วนของเวลาการเพิ่มจำนวนเป็น 2 เท่าของเชื้อทดสอบเมื่อนำส่วนน้ำใสของล.อ.บ. มาทดสอบต่อ ส่วนน้ำใสของตัวควบคุม (t_d ล.อ.บ./ t_d ตัวควบคุม)
ปริมาณโปรตีนในแต่ละหลอด 5 มก./มล.



ตารางที่ 3.13 แสดงคะแนนการทดสอบด้วยประสาทสัมผัสของโยเกิร์ตทดสอบ

การทดสอบ	โยเกิร์ตหมายเลข						
	1	2	3	4	5	6	7
สี	10	3.60	4.33	7.33	5.00	6.00	5.93
กลิ่น	10	6.21	5.93	6.13	2.83	6.13	6.80
รสชาติ	10	5.60	5.40	4.77	2.60	5.33	5.40
เนื้อสัมผัส	10	5.33	5.53	7.07	4.87	5.13	4.47
การยอมรับรวม	10	5.47	5.40	5.53	3.20	5.33	5.27

หมายเหตุ หมายเลข 1 : โยเกิร์ตที่จำหน่ายทั่วไปในท้องตลาด ให้มีคะแนนเต็ม 10

2 : โยเกิร์ตที่ทำจาก ล.อ.บ.สายพันธุ์ BA บ่มนาน 21 ชม.

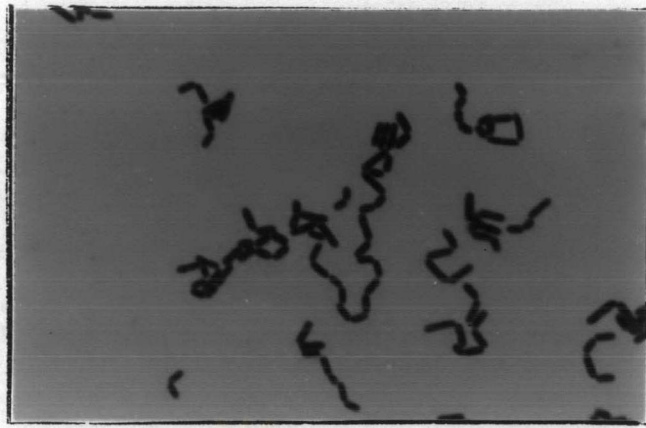
3 : โยเกิร์ตที่ทำจาก ล.อ.บ.สายพันธุ์ BA บ่มนาน 45 ชม.

4 : โยเกิร์ตที่ทำจาก ล.อ.บ.สายพันธุ์ BL บ่มนาน 21 ชม.

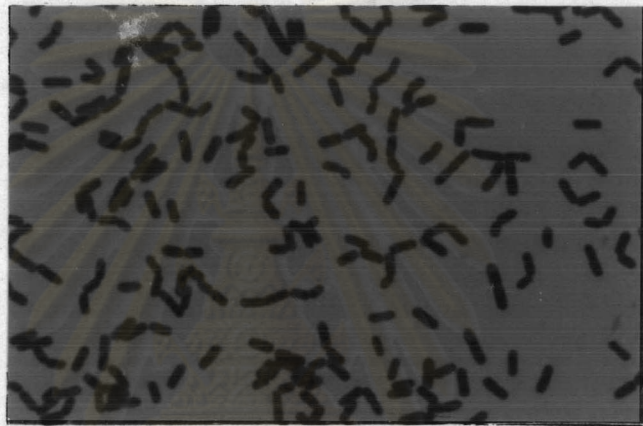
5 : โยเกิร์ตที่ทำจาก ล.อ.บ.สายพันธุ์ BL บ่มนาน 45 ชม.

6 : โยเกิร์ตที่ทำจากโยเกิร์ตหมายเลข 1 ในกรรมวิธีเดียวกับในห้องปฏิบัติการ บ่มนาน 21 ชม.

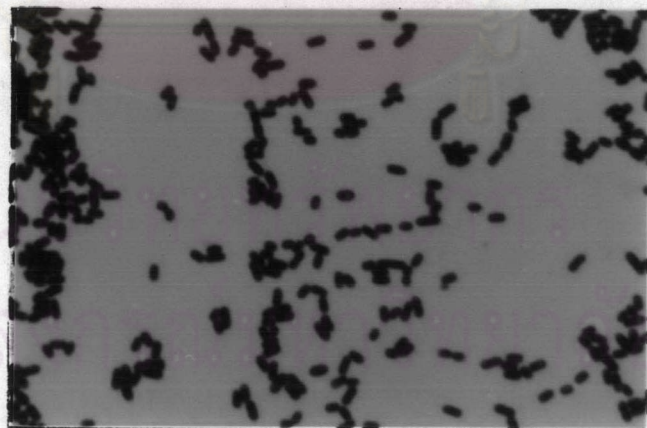
7 : โยเกิร์ตที่ทำจากโยเกิร์ตหมายเลข 1 ในกรรมวิธีเดียวกับในห้องปฏิบัติการ บ่มนาน 45 ชม.



ก
I 5 μm .

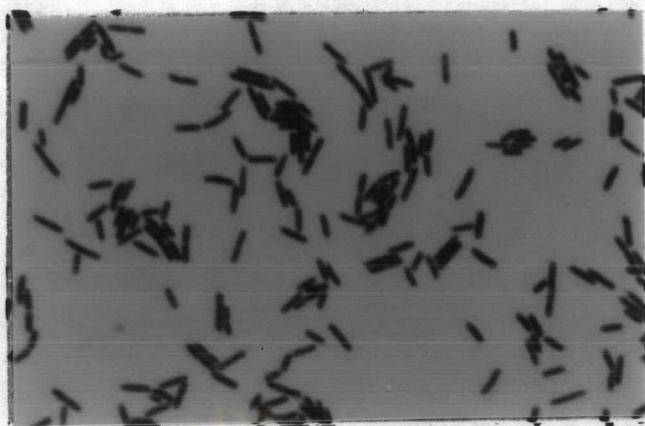


ข
I 5 μm .

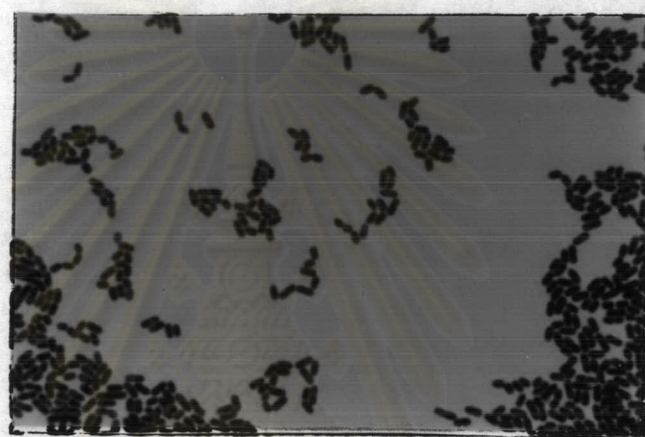


ค
I 5 μm .

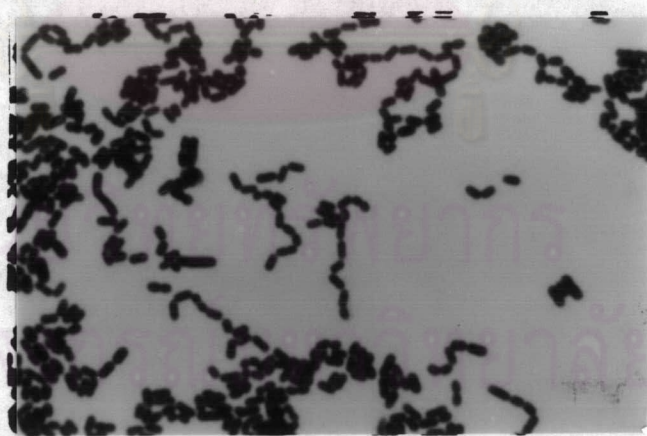
รูปที่ 3.1 แสดงภาพการย้อมสีแกรมของเชื้อ ก. M68 ข. BL ค. 39 ที่ถ่ายจากกล้องจุลทรรศน์ ขนาดกำลังขยาย 1000 เท่า



ก
I 5 μ m.

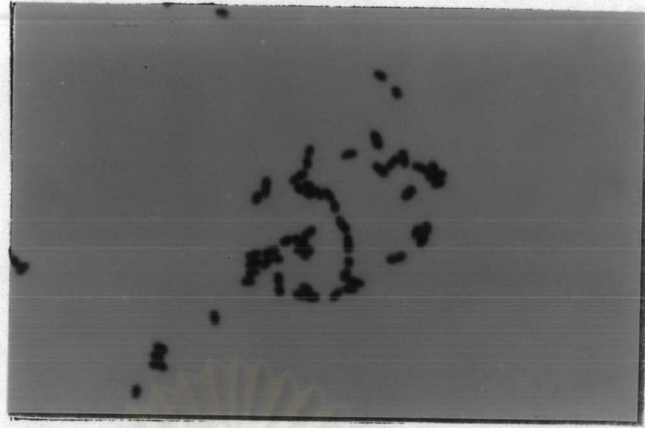


ข
I 5 μ m.

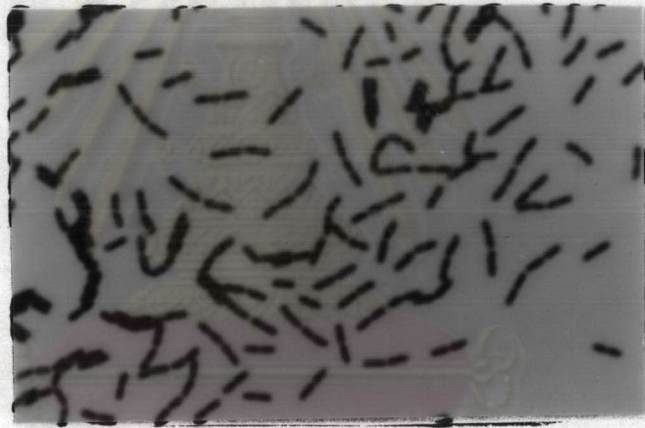


ค
I 5 μ m.

รูปที่ 3.2 แสดงภาพการย้อมสีแกรมของเชื้อ ก. 70 ข. A1 ค. B60 ที่ถ่ายจากกล้องจุลทรรศน์ ขนาดกำลังขยาย 1000 เท่า

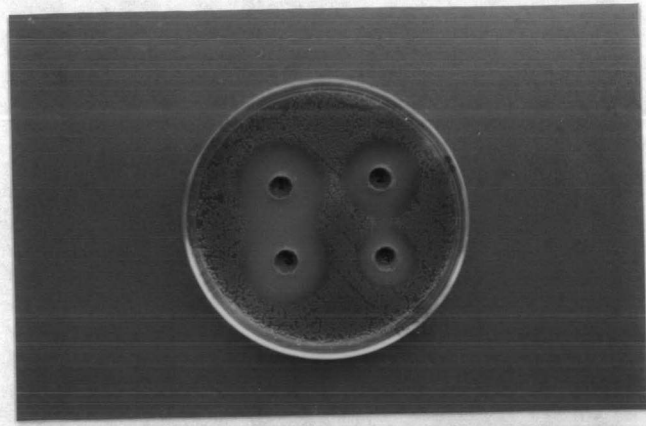


ก
— 5 μ m.

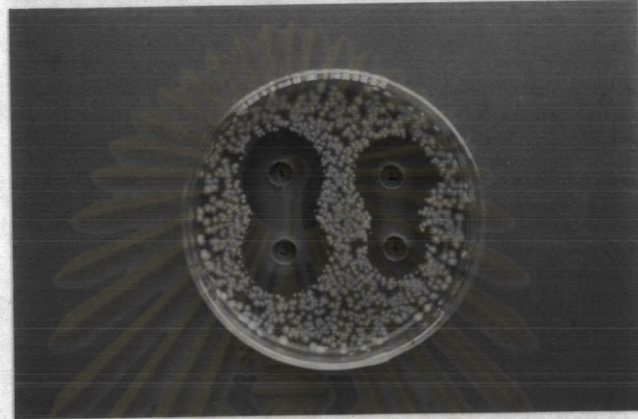


ข
— 5 μ m.

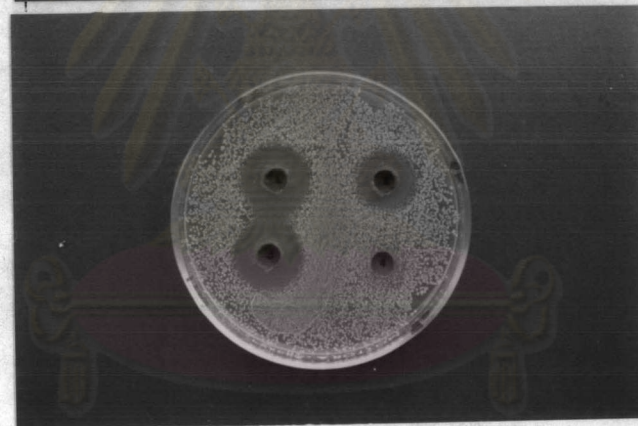
รูปที่ 3.3 แสดงภาพการย้อมสีแกรมของเชื้อ ก. AI ข. BA ที่ถ่ายจากกล้องจุลทรรศน์
ขนาดกำลังขยาย 1000 เท่า



ก



ข



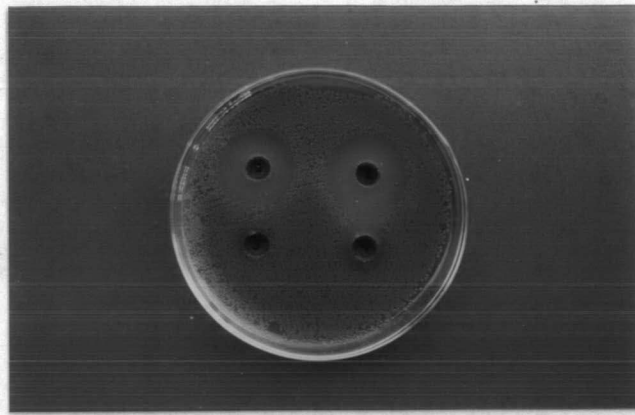
ค

ศูนย์วิทยทรัพยากร
จุฬาลงกรณ์มหาวิทยาลัย

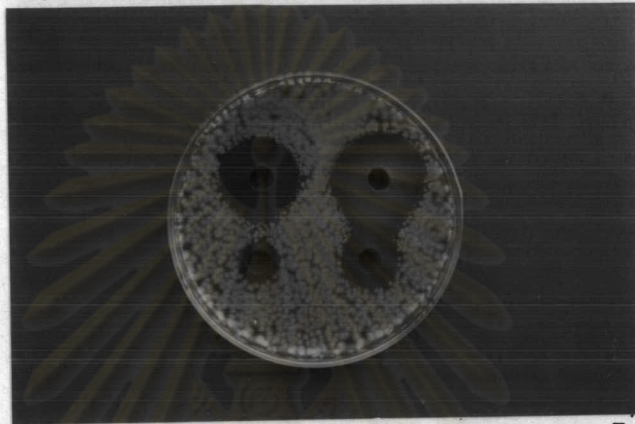
1 2
3 4

รูปที่ 3.4 แสดงการเปรียบเทียบความกว้างของบริเวณไฮเซนอาหารเลี้ยงเชื้อแข็งนิวเตรียนท์ ที่มีบรอมครีซอลเฟอเฟิลเป็นอินดิเคเตอร์ ที่เกิดจากการยับยั้งด้วยส่วนน้ำไลที่ไม่ได้ปรับความเป็นกรดต่างของเชื้อ *Lactobacillus* sp. สายพันธุ์

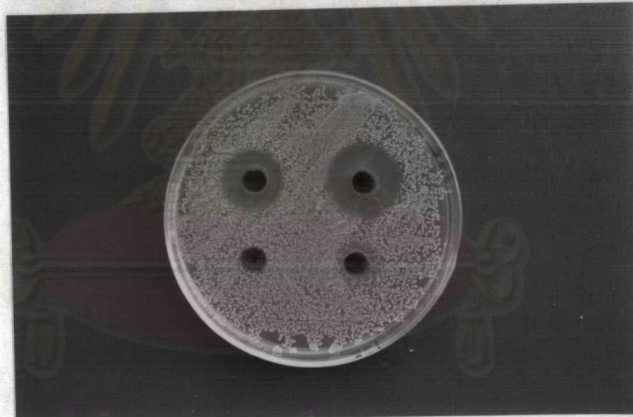
1. BL 2. 66 3. AK1 4. AE ต่อเชื้อทดสอบ ก. *E. coli* ข. *B. subtilis*
ค. *S. aureus* บ่มที่ 37 °ซ นาน 24 ชม.



ก



ข



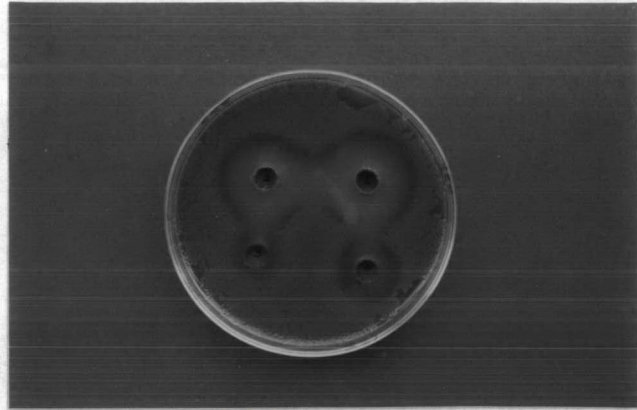
ค

ศูนย์วิทยาศาสตร์สุขภาพ
จุฬาลงกรณ์มหาวิทยาลัย

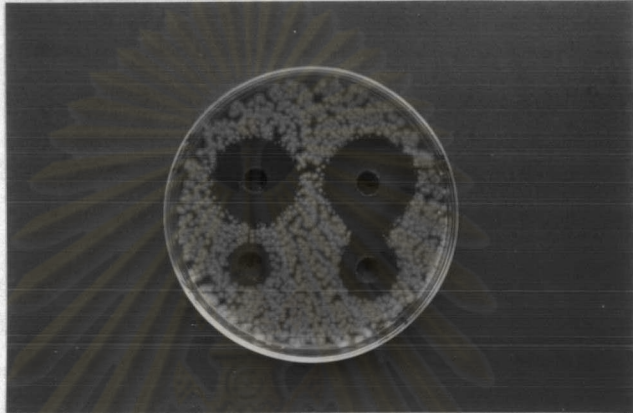
2 1

4 3

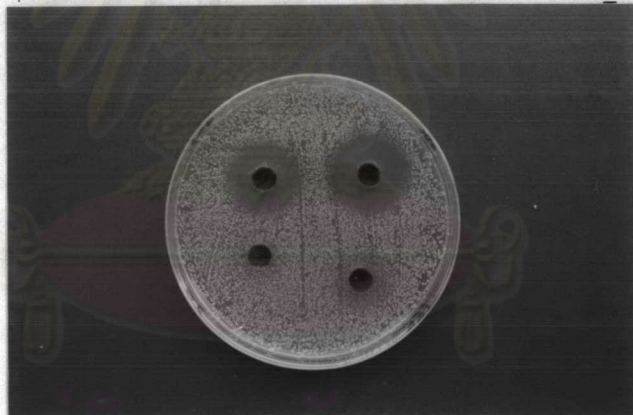
รูปที่ 3.6 แสดงการเปรียบเทียบความกว้างของบริเวณไลเซนอาหารเลี้ยงเชื้อแข็งนิวเตรียนท์ ที่มีบรมครีซอลเนอเฟิลเป็นอินดิเคเตอร์ ที่เกิดจากการยับยั้งด้วยกรดไฮโดรคลอริก ความเข้มข้น 1. 300 mM 2. 200 mM 3. 100 mM 4. 50 mM ต่อเชื้อทดสอบ ก. *E. coli* ข. *B. subtilis* ค. *S. aureus* บ่มที่ 37 °ซ นาน 24 ชม.



ก



ข

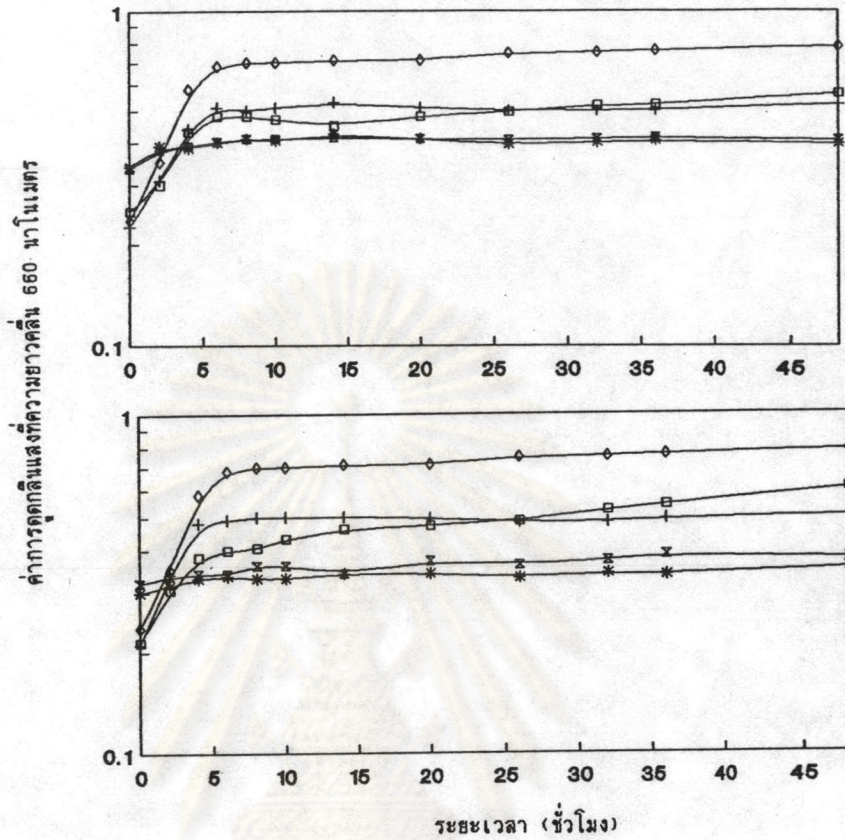


ค

ศูนย์ มหุทยโทรพยากร
 จุฬาลงกรณ์มหาวิทยาลัย

2 1
 4 3

รูปที่ 3.7 แสดงการเปรียบเทียบความกว้างของบริเวณไลบอาหารเลี้ยงเชื้อแข็งนิวเตรียนท์ ที่มีบรอมครีซอลเฟอเฟิลเป็นอินดิเคเตอร์ ที่เกิดจากการยับยั้งด้วยกรดอะซิติกความเข้มข้น 1. 300 mM 2. 200 mM 3. 100 mM 4. 50 mM ต่อเชื้อทดสอบ ก. *E. coli* ข. *B. subtilis* ค. *S. aureus* บ่มที่ 37 °ซ นาน 24 ชม.

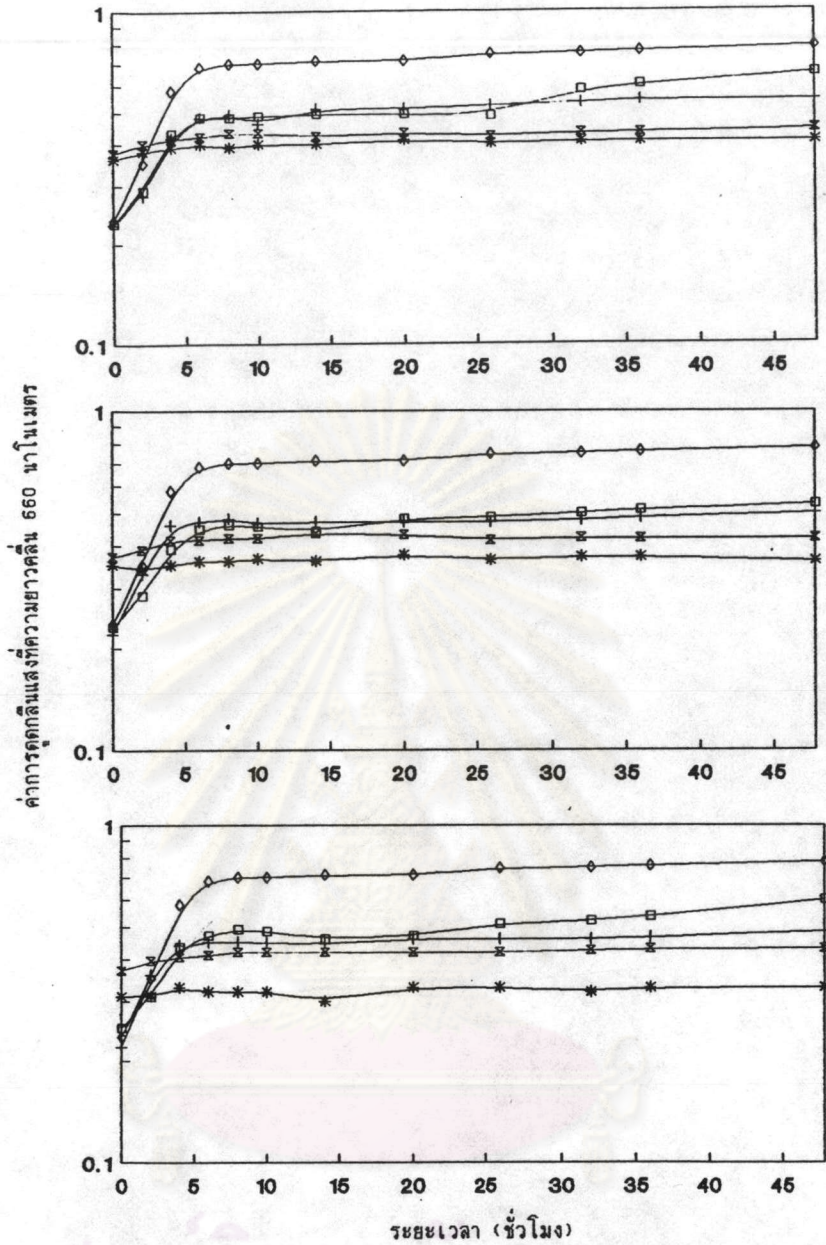


รูปที่ 3.8 แสดงการห้วงเห็นยวการเจริญของเชื้อทดสอบแบบ Tube Test ในช่วงเวลาต่างๆ ของส่วนน้ำใสที่ pH ต่างๆของ *Lactobacillus* sp. สายพันธุ์

ก. 33* pH 6.5 —+— , 33* pH 3.67 —*— , AE pH 6.5 —□—
 และ AE pH 3.66 —x—

ข. AI pH 6.5 —+— , AI pH 3.78 —*— , BA pH 6.5 —□—
 และ BA pH 3.79 —x—

เมื่อใช้ *E. coli* —◇— เป็นเชื้อทดสอบ บ่มที่ 37 °ซ



ก

ข

ค

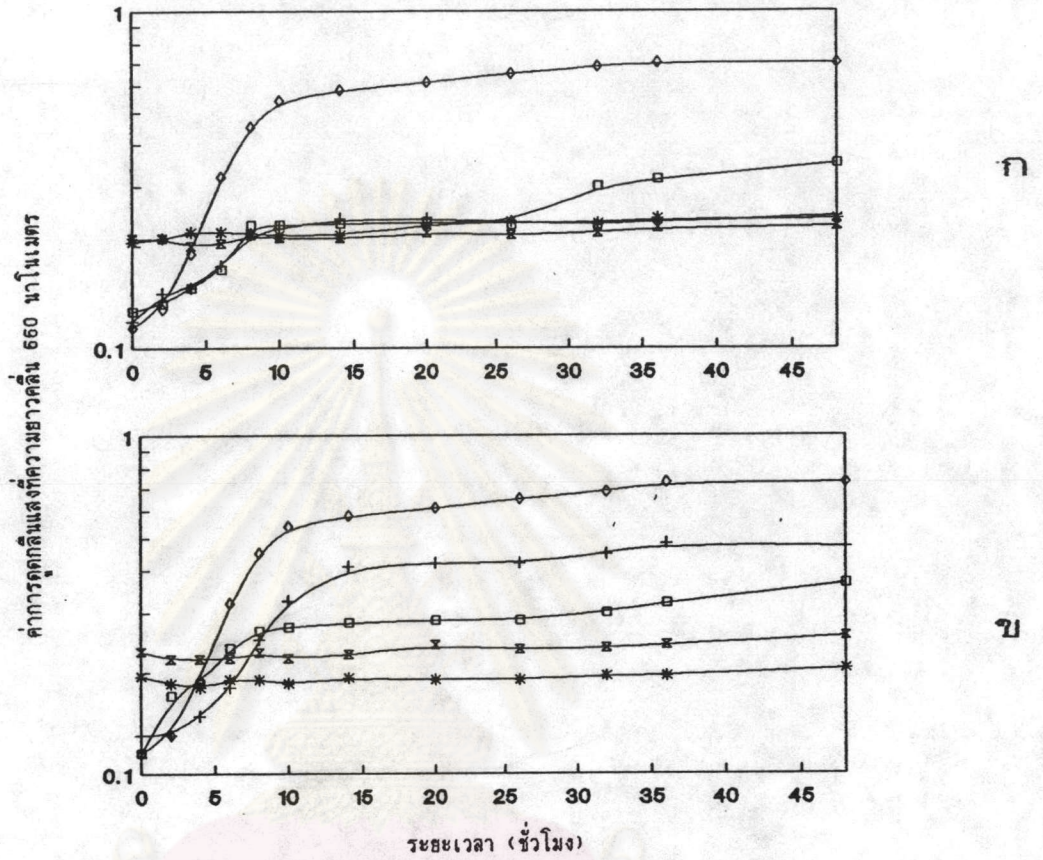
รูปที่ 3.9 แสดงการหน่วงเหนี่ยวการเจริญของเชื้อทดสอบแบบ Tube Test ในช่วงเวลาต่างๆ ของส่วนน้ำใสที่ pH ต่างๆของ *Lactobacillus* sp. สายพันธุ์

ก. M68 pH 6.5 + , M68 pH 3.76 * , AK pH 6.5 □
และ AK pH 3.78 x

ข. AJ pH 6.5 + , AJ pH 3.93 * , BL pH 6.5 □
และ BL pH 3.65 x

ค. A3M pH 6.5 + , A3M pH 3.69 * , S1 pH 6.5 □
และ S1 pH 3.73 x

เมื่อใช้ *E. coli* ◇ เป็นเชื้อทดสอบ บ่มที่ 37 °C



รูปที่ 3.10 แสดงการห่อหุ้มเยื่อการเจริญของเชื้อทดสอบแบบ Tube Test ในช่วงเวลาต่างๆ ของส่วนน้ำใสที่ pH ต่างๆของ *Lactobacillus* sp. สายพันธุ์

ก. AE pH 6.5 —+— , AE pH 3.66 —*— , BA pH 6.5 —□—

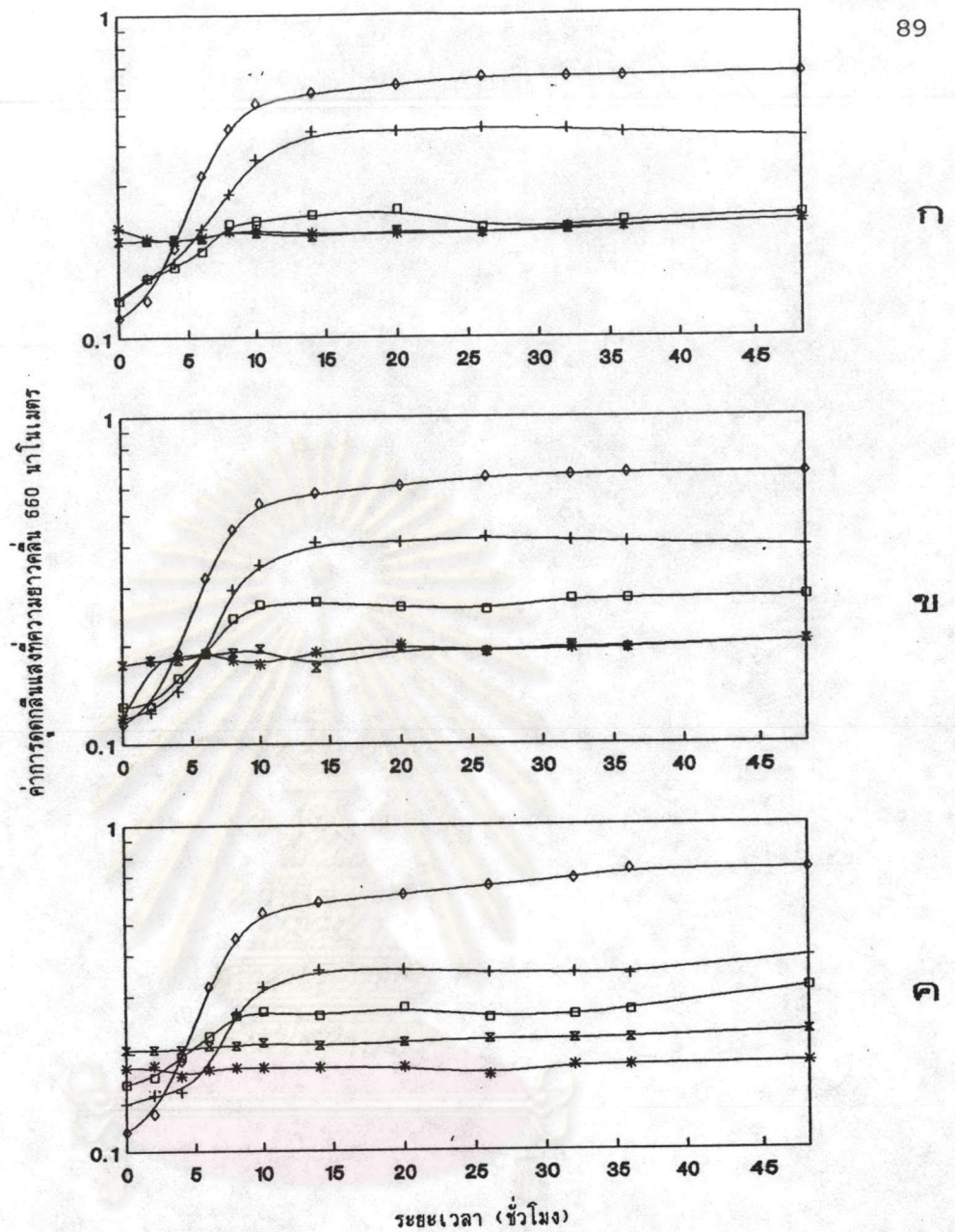
และ BA pH 3.79 —x—

ข. 33* pH 6.5 —+— , 33* pH 3.67 —*— , AJ pH 6.5 —□—

และ AJ pH 3.93 —x—

เมื่อใช้ *B. subtilis* —◇—

เป็นเชื้อทดสอบ บ่มที่ 37 °ซ



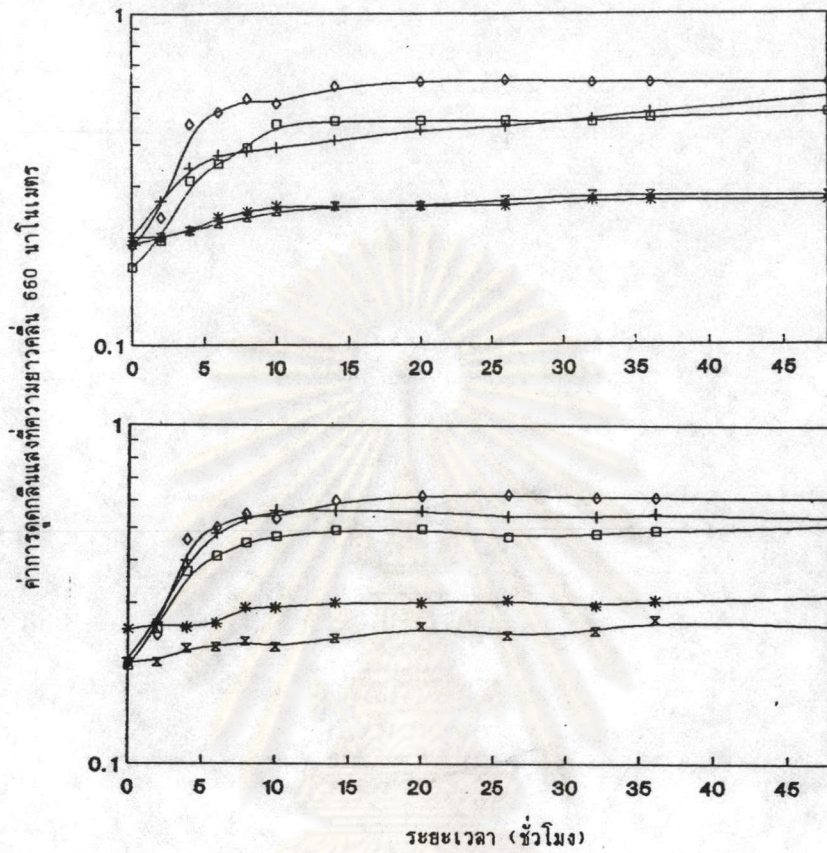
รูปที่ 3.11 แสดงการหน่วงเหนี่ยวการเจริญของเชื้อทดสอบแบบ Tube Test ในช่วงเวลาต่างๆ ของส่วนน้ำใสที่ pH ต่างๆของ *Lactobacillus* sp. สายพันธุ์

ก. AK pH 6.5 + , AK pH 3.78 * , BL pH 6.5 -□-
 และ BL pH 3.65 -x-

ข. AI pH 6.5 + , AI pH 3.78 * , S1 pH 6.5 -□-
 และ S1 pH 3.73 -x-

ค. A3M pH 6.5 + , A3M pH 3.69 * , M68 pH 6.5 -□-
 และ M68 pH 3.76 -x-

เมื่อใช้ *B. subtilis* -◇- เป็นเชื้อทดสอบ บ่มที่ 37 °ซ



ก

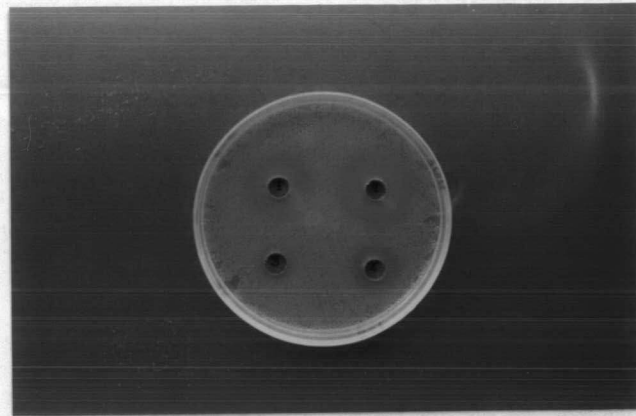
ข

รูปที่ 3.12 แสดงการหั่งเห็นยวการเจริญของเชื้อทดสอบแบบ Tube Test ในช่วงเวลาต่างๆ ของส่วนน้ำใสที่ pH ต่างๆของ *Lactobacillus* sp. สายพันธุ์

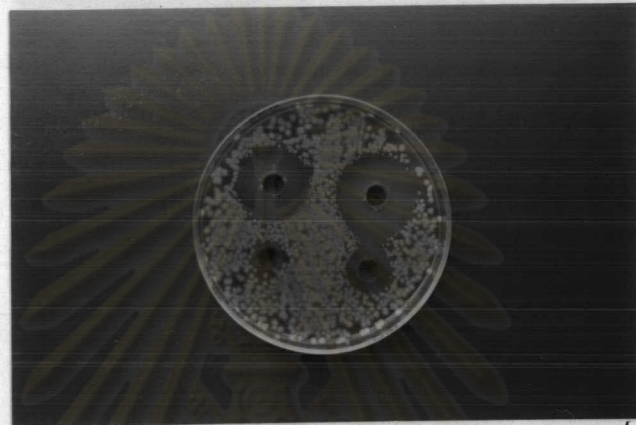
ก. AE pH 6.5 + , AE pH 3.66 * , 33* pH 6.5 -□-
 และ 33* pH 3.67 -x-

ข. AI pH 6.5 + , AI pH 3.78 * , S1 pH 6.5 -□-
 และ S1 pH 3.73 -x-

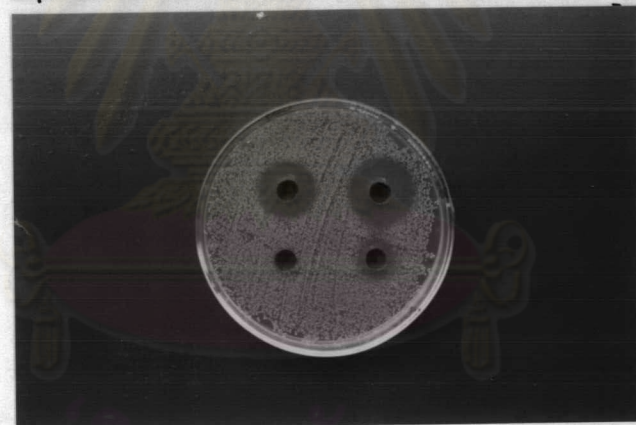
เมื่อใช้ *S. aureus* -◇- เป็นเชื้อทดสอบ บ่มที่ 37 °ซ



ก



ข

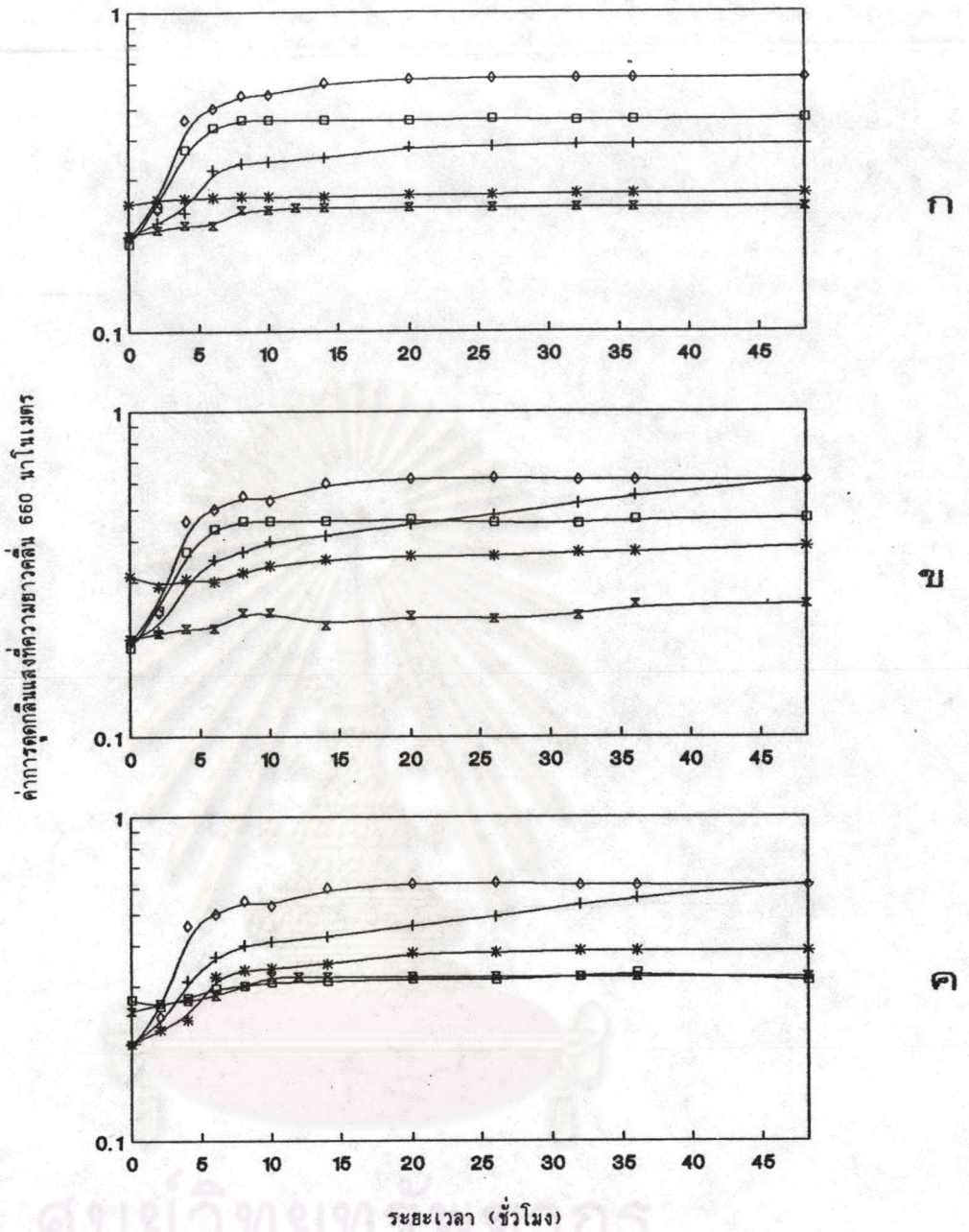


ค

2 1

4 3

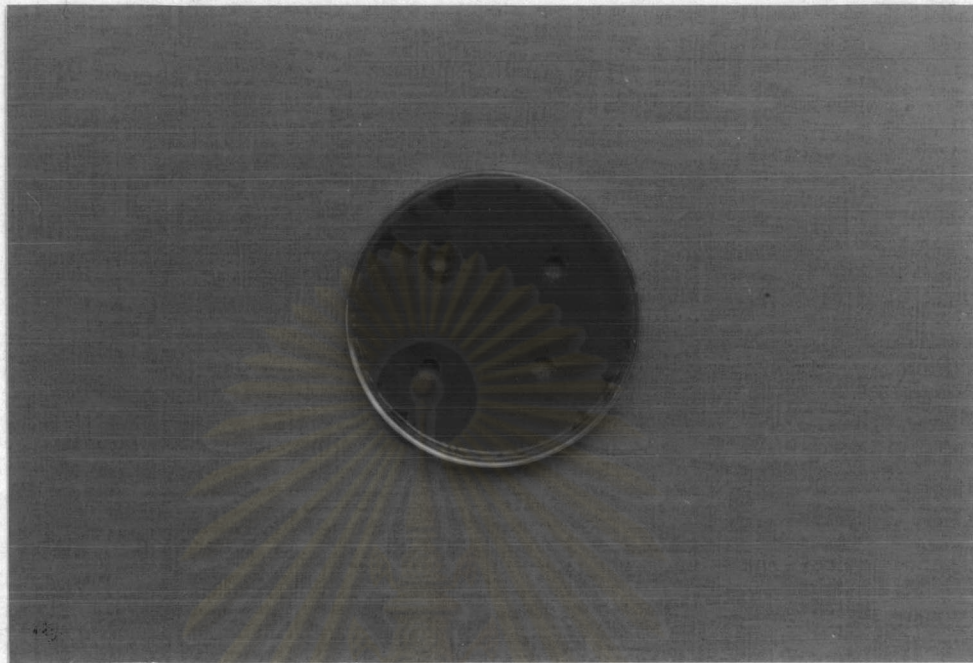
รูปที่ 3.5 แสดงการเปรียบเทียบความกว้างของบริเวณไลบนาอาหารเลี้ยงเชื้อแบคทีเรียที่มีบรอมครีซอลเฟอเฟิลเป็นอินดิเคเตอร์ ที่เกิดจากการยับยั้งด้วยกรดแลคติกความเข้มข้น 1. 300 mM 2. 200 mM 3. 100 mM 4. 50 mM ต่อเชื้อทดสอบ ก. *E. coli* ข. *B. subtilis* ค. *S. aureus* บ่มที่ 37 °C นาน 24 ชม.



รูปที่ 3.13 แสดงการหน่วงเหนี่ยวการเจริญของเชื้อทดสอบแบบ Tube Test ในช่วงเวลาต่างๆ ของส่วนน้ำใสที่ pH ต่างๆของ *Lactobacillus* sp. สายพันธุ์

- ก. BA pH 6.5 + , BA pH 3.79 * , A3M pH 6.5 -□-
และ A3M pH 3.69 -x-
- ข. AJ pH 6.5 + , AJ pH 3.93 * , AK pH 6.5 -□-
และ AK pH 3.78 -x-
- ค. M68 pH 6.5 + , M68 pH 3.76 -x- , BL pH 6.5 *
และ BL pH 3.65 -□-

เมื่อใช้ *S. aureus* -○- เป็นเชื้อทดสอบ บ่มที่ 37 °ซ

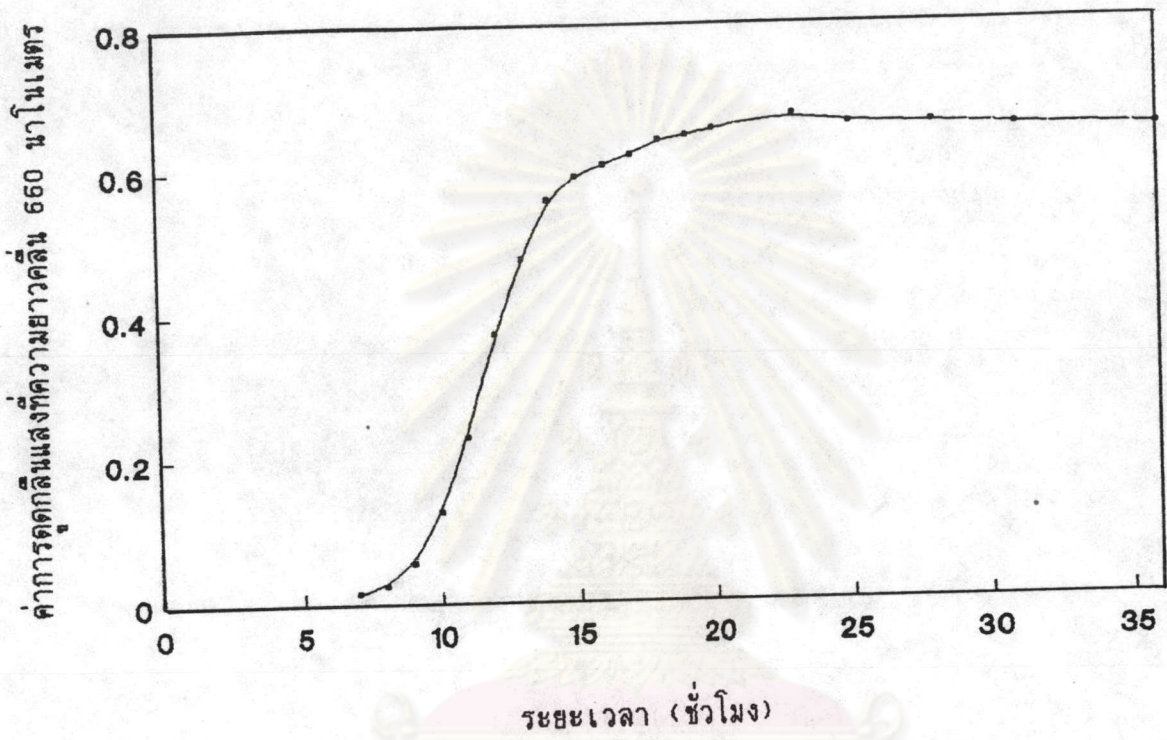


1 2

3 4

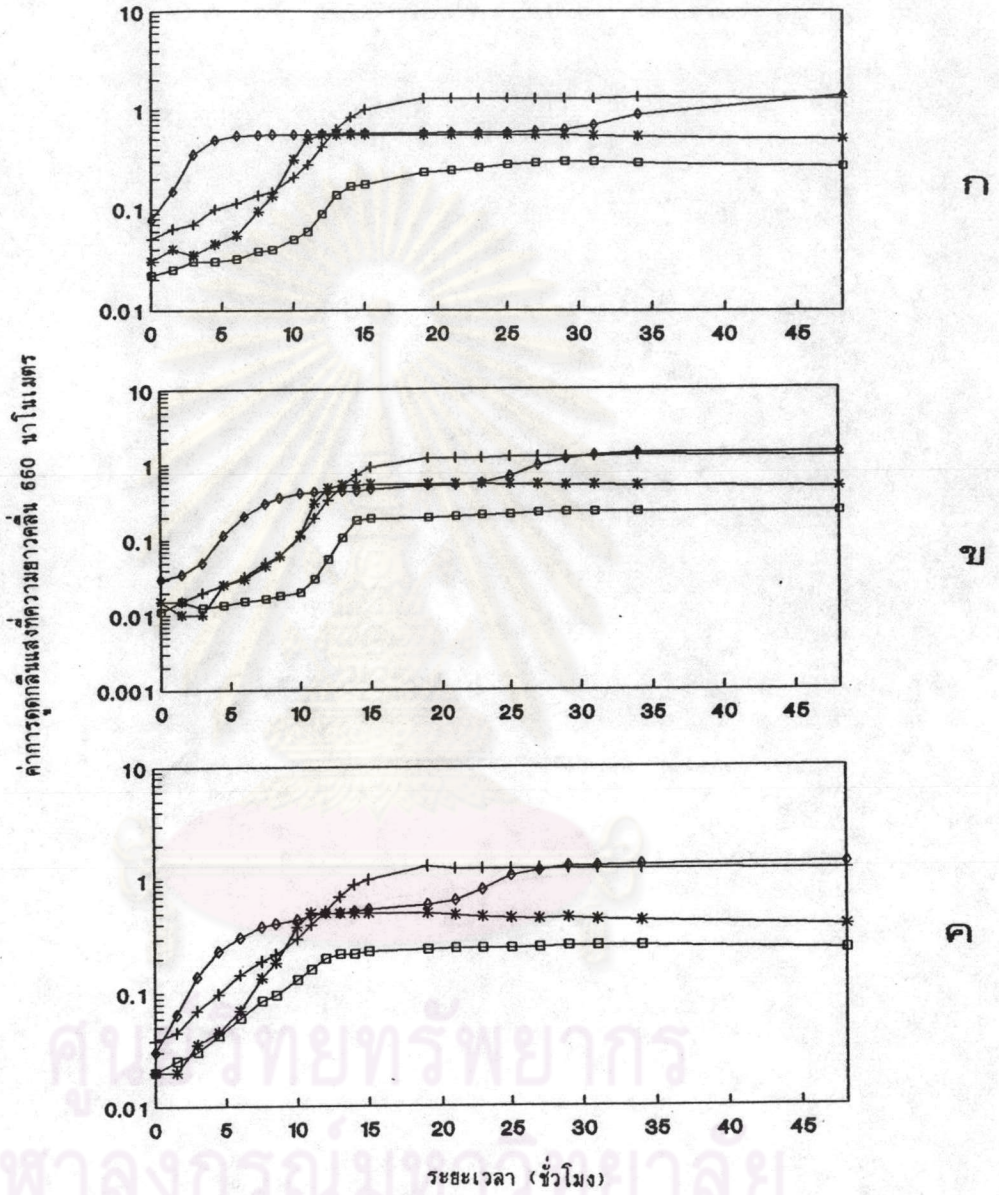
รูปที่ 3.14 แสดงการเปรียบเทียบความกว้างของบริเวณไลบนอาหารเลี้ยงเชื้อแข็งนิวเทรียนท์ ที่มีบรอมครีซอลเฟอเฟิลเป็นอินดิเคเตอร์ ที่เกิดจากการยับยั้งด้วยส่วนน้ำไลที่ปรับให้มีความเป็นกรดต่าง 6.5 ของเชื้อ *Lactobacillus* sp. สายพันธุ์ 1. BL 2. AE 3. BA 4. M68 ต่อเชื้อทดสอบ *B. subtilis* บ่มที่ 37 °C นาน 24 ชม.

ศูนย์วิจัยทรัพยากร
จุฬาลงกรณ์มหาวิทยาลัย



รูปที่ 3.15 แสดงการติดตามการเจริญของ *Lactobacillus* sp. สายพันธุ์ BL ในอาหารเลี้ยงเชื้อเหลวแลคโตบาซิล เอ็มอาร์เอส ที่ 37 °ซ เป็นเวลา 36 ชม.

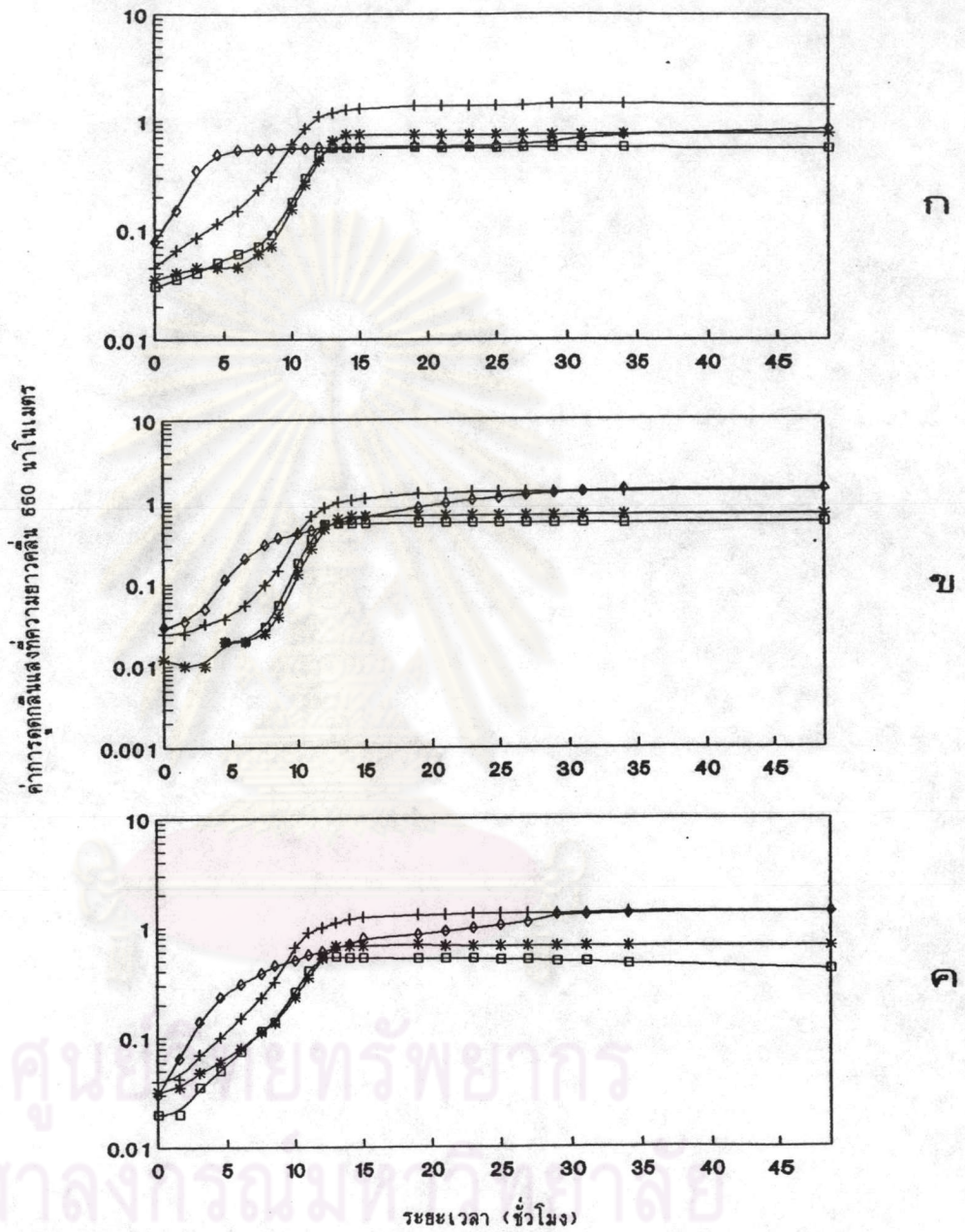
จุฬาลงกรณ์มหาวิทยาลัย



รูปที่ 3.16 แสดงการหน่วงเหนี่ยวการเจริญของเชื้อทดสอบแบบ Tube Test ในช่วงเวลาต่างๆ ของส่วนน้ำใสที่ปรับให้มีความเป็นกรดต่าง 6.5 ของ *Lactobacillus* sp. สายพันธุ์ BL ที่เลี้ยงนาน

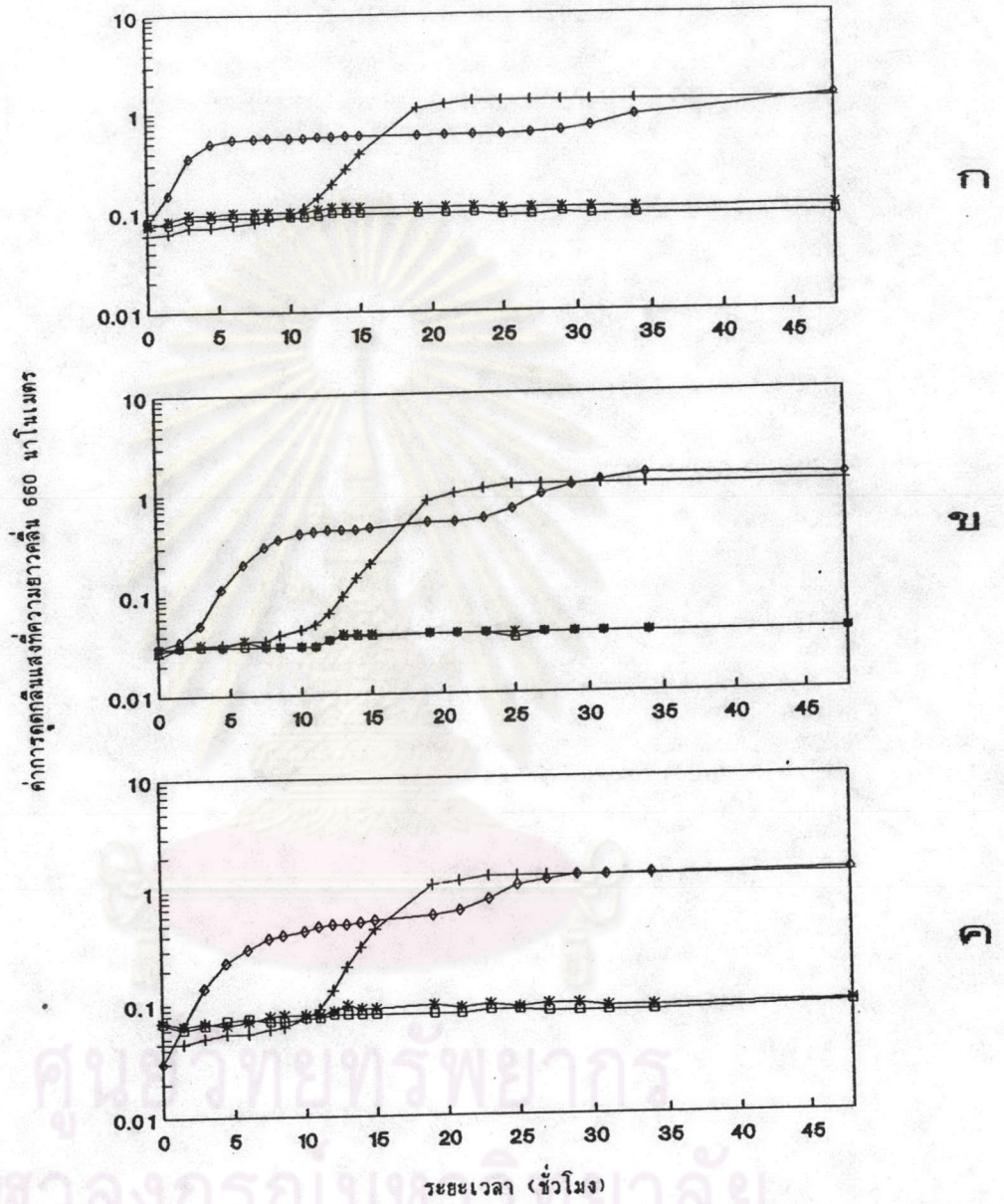
1. 12 ชม. + 2. 24 ชม. * 3. 36 ชม. □ 4. ตัวควบคุม ○

ต่อเชื้อทดสอบ ก. *E. coli* ข. *B. subtilis* ค. *S. aureus* ที่ 37 °ซ



รูปที่ 3.17 แสดงการหั่งเห็นยวการเจริญของเชื้อทดสอบแบบ Tube Test ในช่วงเวลาต่างๆ ของส่วนน้ำไลที่ปรับให้มีความเป็นกรดต่าง 6.5 ของ *Lactobacillus* sp. สายพันธุ์ AE ที่เลี้ยงนาน

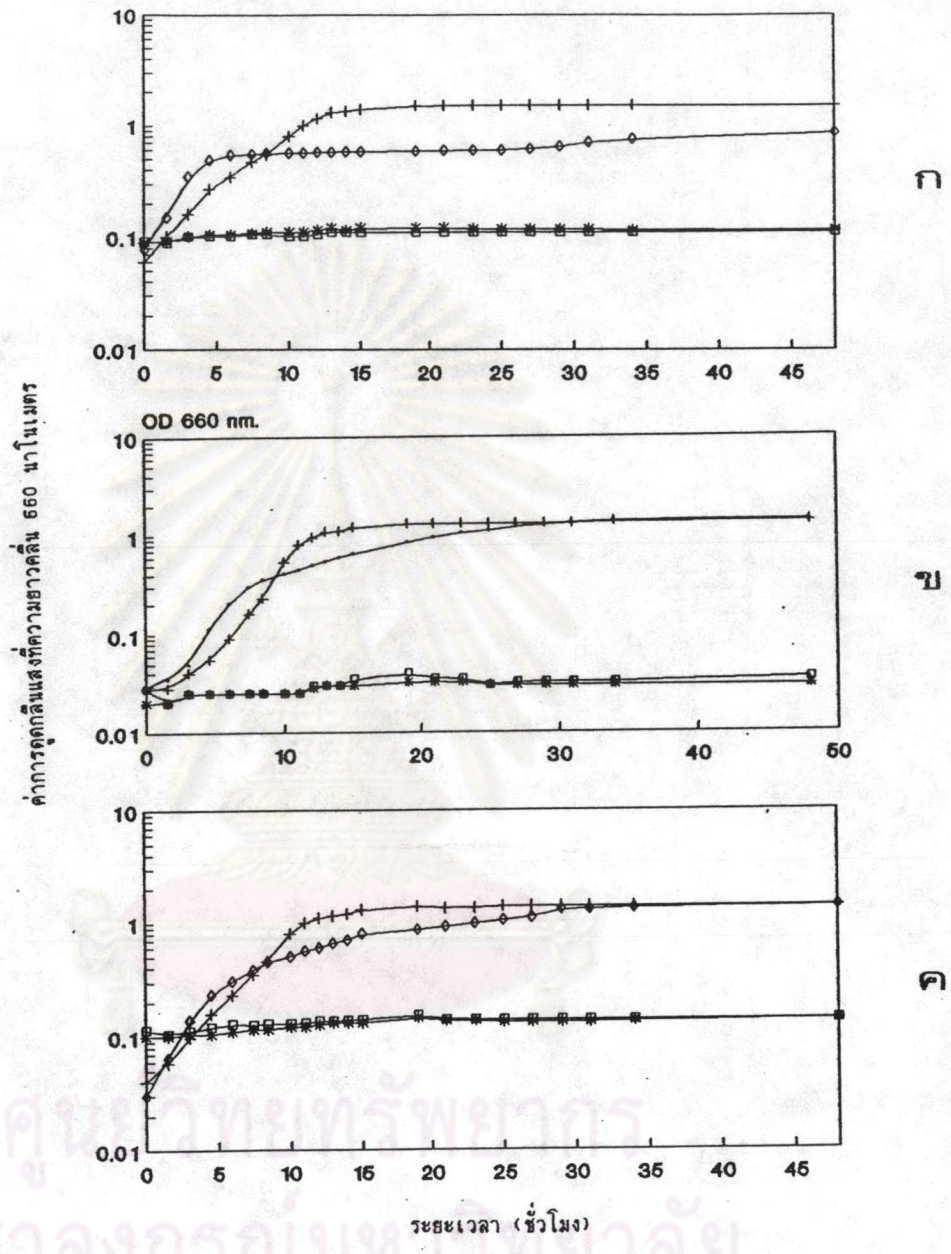
1. 12 ชม. — 2. 24 ชม. * 3. 36 ชม. — 4. ตัวควบคุม —
 ต่อเชื้อทดสอบ ก. *E. coli* ข. *B. subtilis* ค. *S. aureus* ที่ 37 °ซ



รูปที่ 3.18 แสดงการหน่วงเหนี่ยวการเจริญของเชื้อทดสอบแบบ Tube Test ในช่วงเวลาต่างๆ ของส่วนน้ำใส ของ *Lactobacillus* sp. สายพันธุ์ BL ที่เลี้ยงนาน

1. 12 ชม.: pH 5.91	+	2. 24 ชม.: pH 4.50	*
3. 36 ชม.: pH 3.50	□	4. ตัวควบคุม	◇

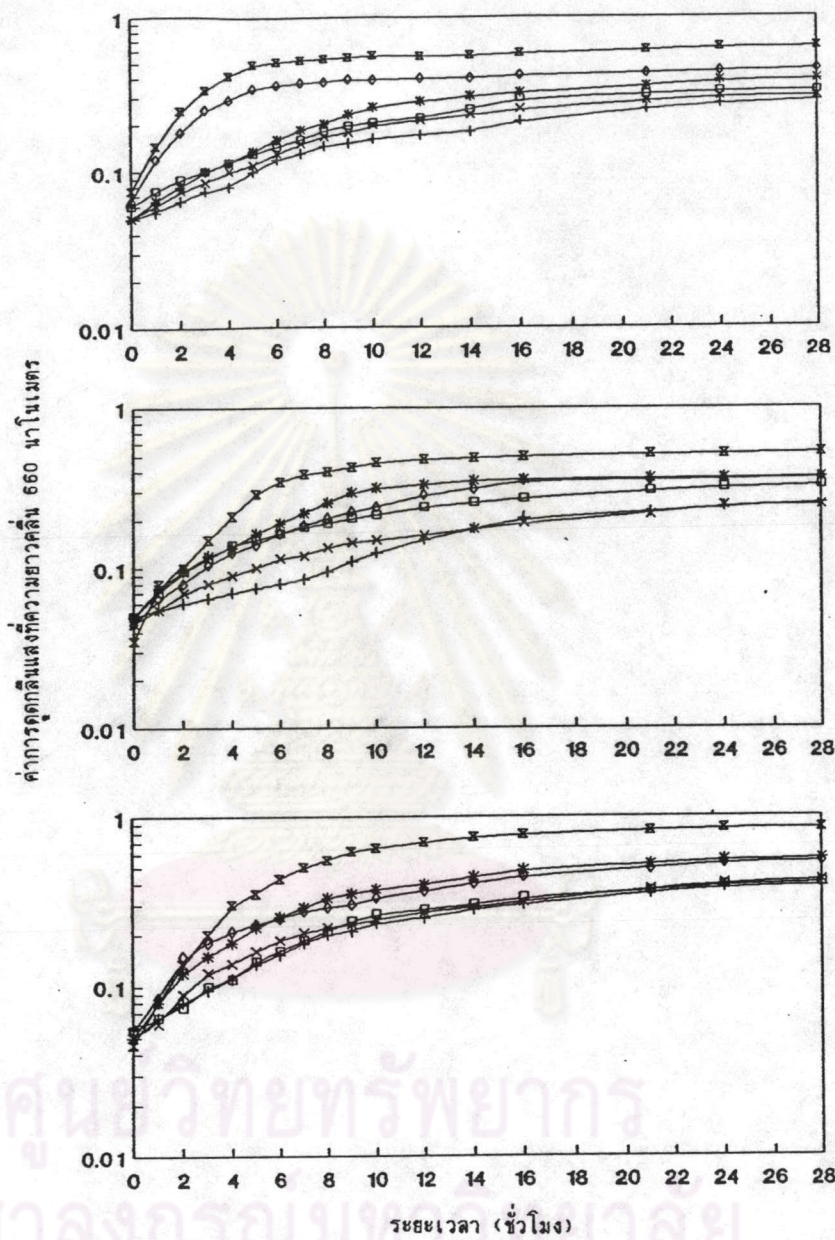
ต่อเชื้อทดสอบ ก. *E. coli* ข. *B. subtilis* ค. *S. aureus* ที่ 37 °ซ



รูปที่ 3.19 แสดงการหน่วงเหนี่ยวการเจริญของเชื้อทดสอบแบบ Tube Test ในช่วงเวลาต่างๆ ของส่วนน้ำใส ของ *Lactobacillus* sp. สายพันธุ์ AE ที่บ่มนาน

1. 12 ชม.: pH 6.84	+	2. 24 ชม.: pH 4.48	*
3. 36 ชม.: pH 3.45	□	4. ตัวควบคุม	◇

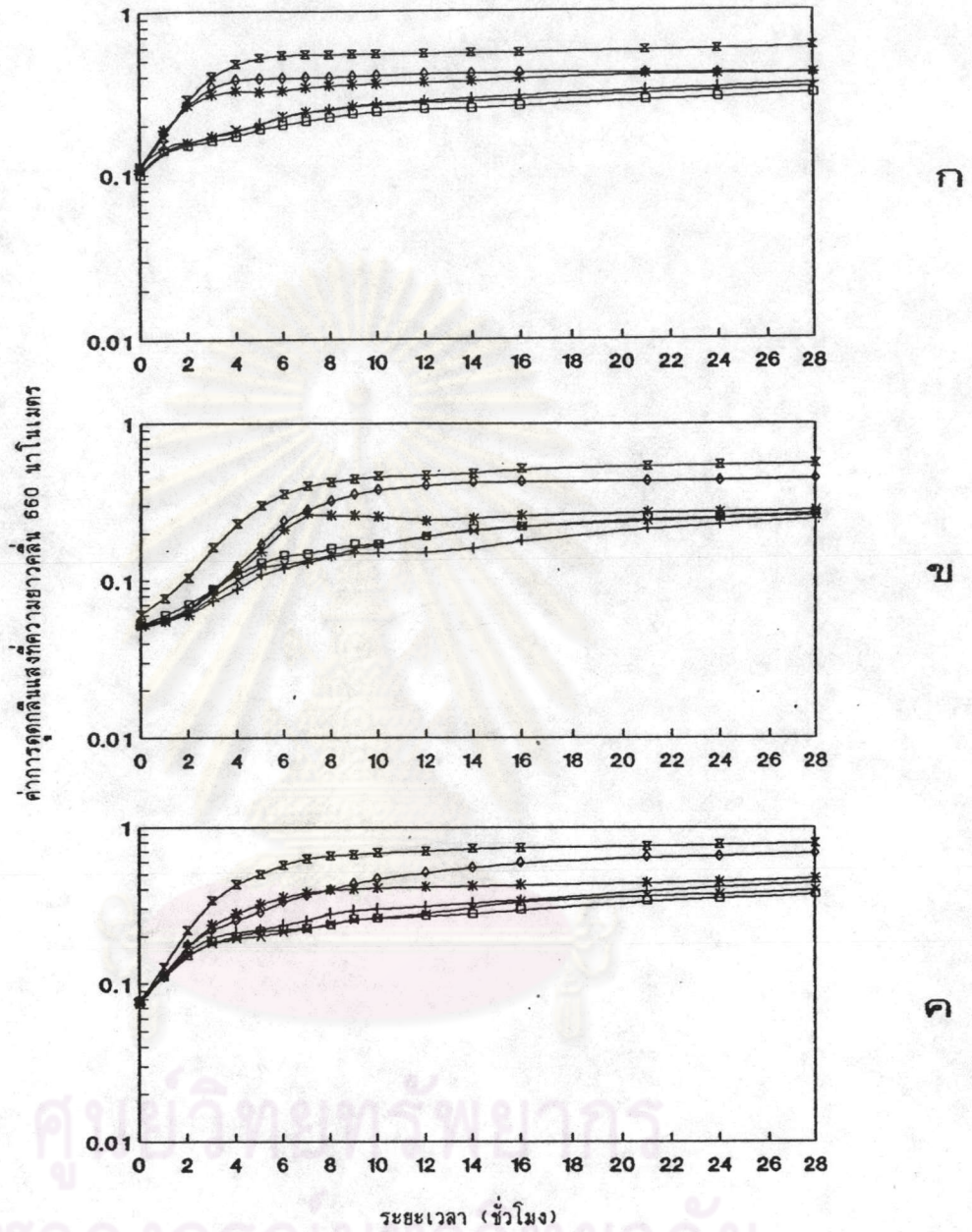
ต่อเชื้อทดสอบ ก. *E. coli* ข. *B. subtilis* ค. *S. aureus* ที่ 37 °ซ



รูปที่ 3.20 แสดงการห้วงเห็นยวการเจริญของเชื้อทดสอบแบบ Tube Test ในช่วงเวลาต่างๆ ของส่วนน้ำใสที่ปรับให้มีความเป็นกรดต่าง 6.5 ที่ผ่านขบวนการทำโดยอะไลซิซของ *Lactobacillus* sp. สายพันธุ์

- 1. BL +
- 2. BA *
- 3. AE □
- 4. M68 ×
- 5. 1.1M ◇
- 6. ตัวควบคุม —

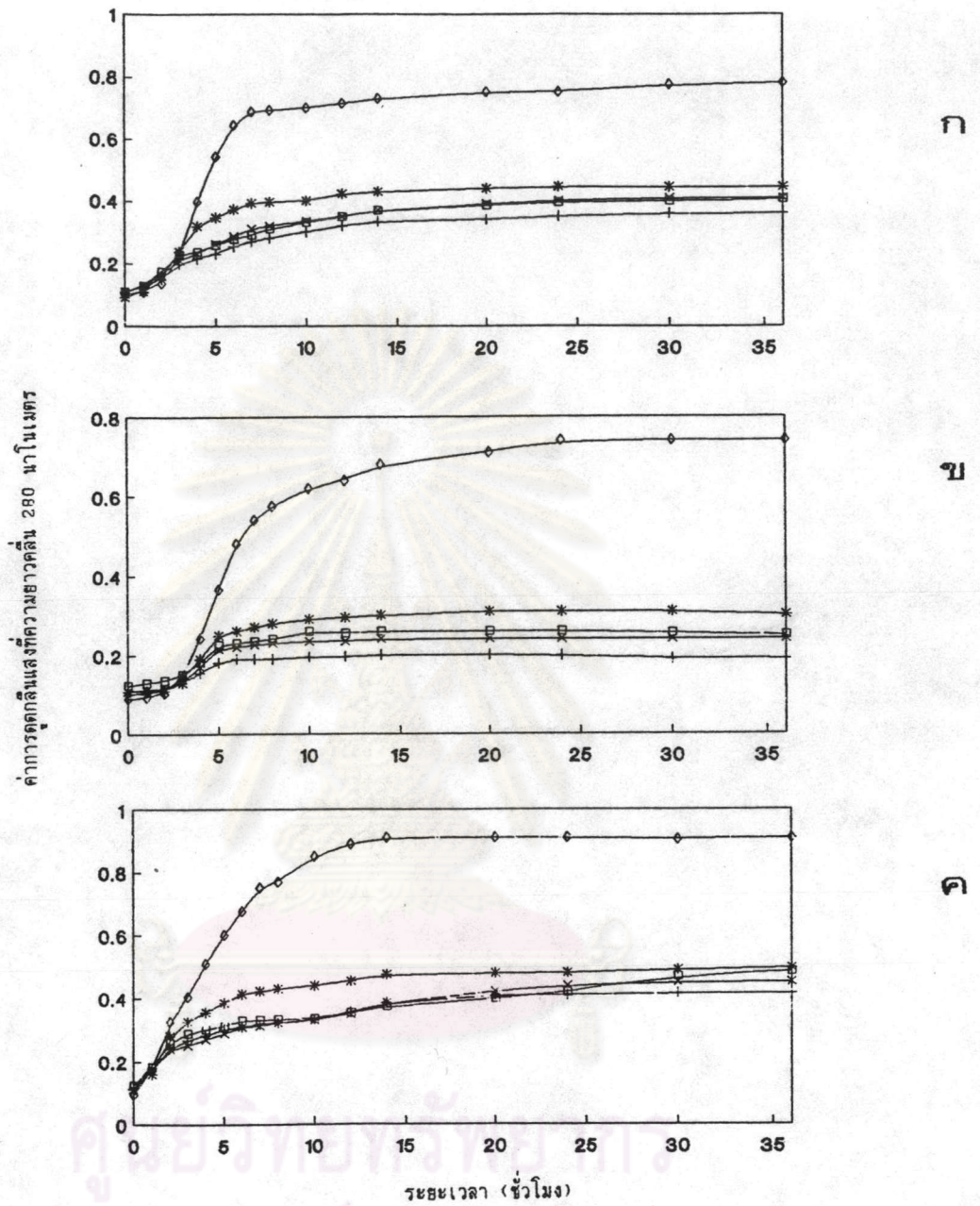
ต่อเชื้อทดสอบ ก. *E. coli* ข. *B. subtilis* ค. *S. aureus* ที่ 37 °ซ



รูปที่ 3.21 แสดงการหน่วงเหนี่ยวการเจริญของเชื้อทดสอบแบบ Tube Test ในช่วงเวลาต่างๆ ของส่วนน้ำที่ปรับให้มีความเป็นกรดต่าง 6.5 ที่ไม่ผ่านขบวนการทำไดอะไลซิส ของ *Lactobacillus* sp. สายพันธุ์

- 1. BL —|—
- 2. BA —*—
- 3. AE —□—
- 4. M68 —x—
- 5. 1.1M —◇—
- 6. ตัวควบคุม —■—

ต่อเชื้อทดสอบ ก. *E. coli* ข. *B. subtilis* ค. *S. aureus* ที่ 37 °C

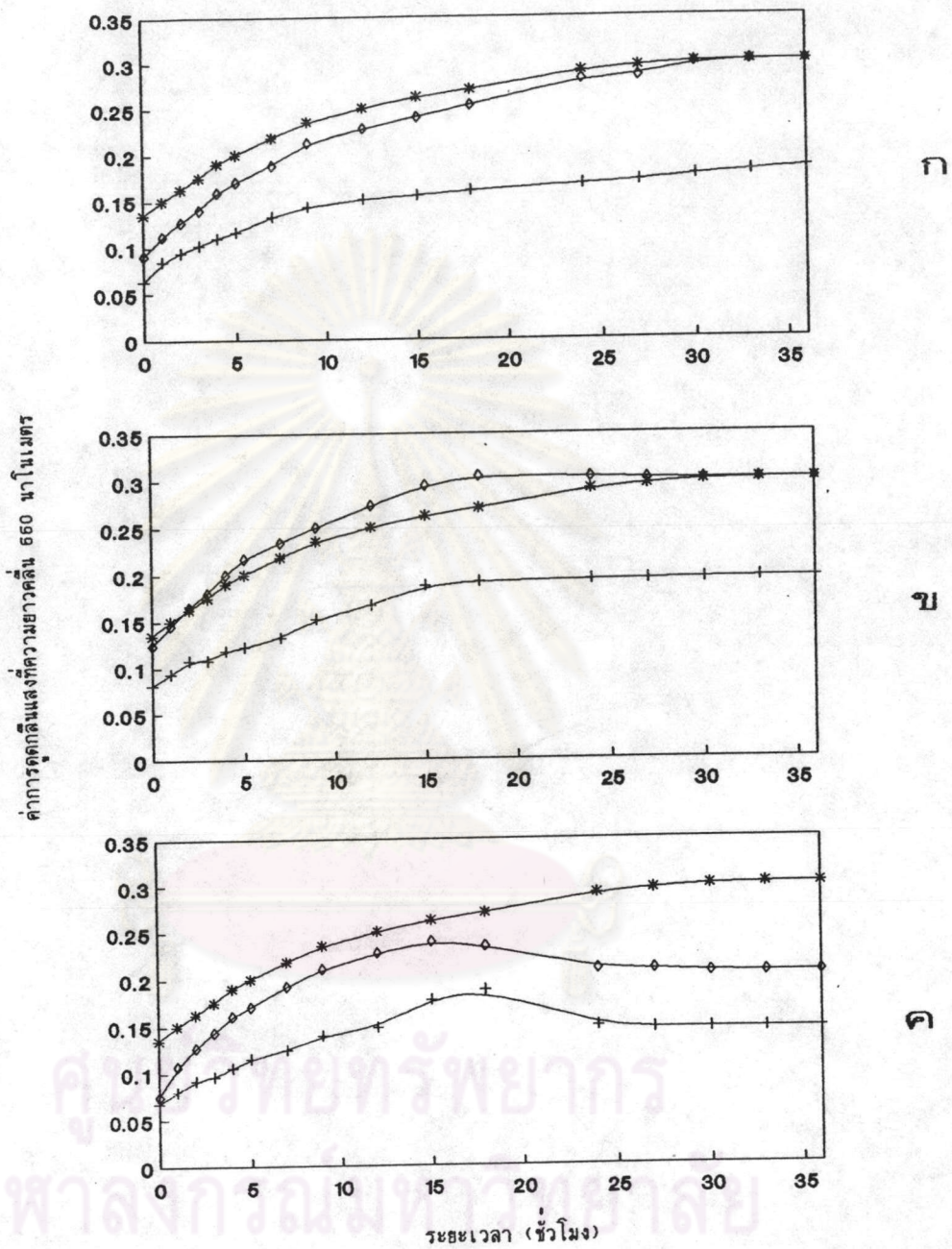


รูปที่ 3.22 แสดงการหน่วงเหนี่ยวการเจริญของเชื้อทดสอบแบบ Tube Test ในช่วงเวลาต่างๆ ของส่วนน้ำใสที่ปรับให้มีค่าความเป็นกรดต่าง 6.5 ที่ผ่านการทำแห้งในภาวะเยือกแข็งของ *Lactobacillus* sp. สายพันธุ์

1. BL — 2. BA * 3. AE □ 4. M68 *

5. ตัวควบคุม ○

ต่อเชื้อทดสอบ ก. *E. coli* ข. *B. subtilis* ค. *S. aureus* ที่ 37 °C



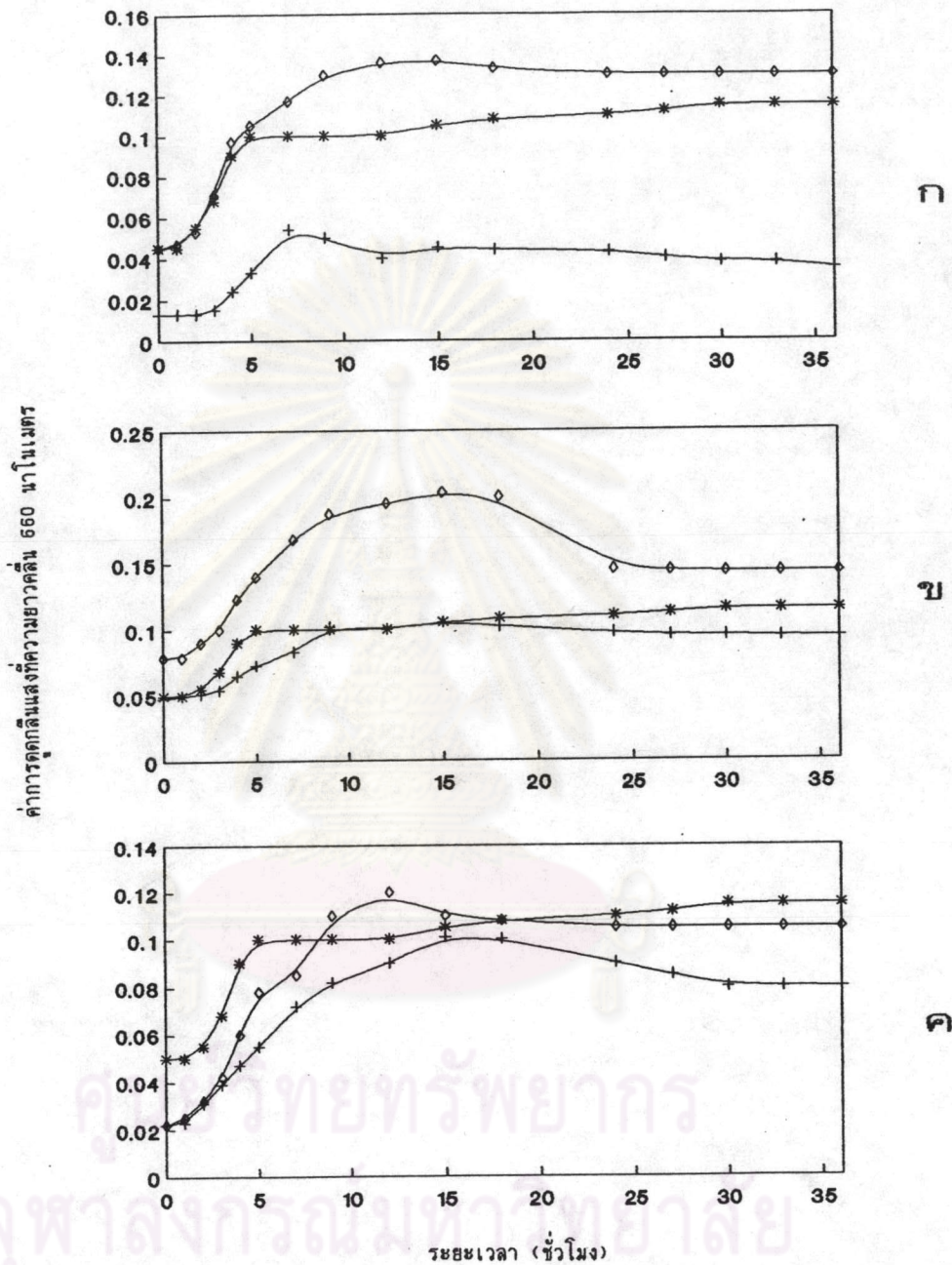
รูปที่ 3.23 แสดงการห้วงเหนี่ยวการเจริญของเชื้อทดสอบแบบ Tube Test ในช่วงเวลาต่างๆ ของส่วนน้ำใสที่ปรับให้มีค่าความเป็นกรดต่าง 6.5 ของ *Lactobacillus* sp. สายพันธุ์ BL ที่ตกตะกอนด้วยแอมโมเนียมซัลเฟตอิมตัวที่ความเข้มข้น

ก. 0-40 % ข. 40-70 % ค. 70-90 %

: อาหารเลี้ยงเชื้อ MRS \diamond , ส่วนน้ำใส BL $+$

และอาหารเลี้ยงเชื้อ NB ไม่ผ่านการตกตะกอน $*$

เมื่อใช้ *E. coli* เป็นเชื้อทดสอบ ที่ 37 °ซ



รูปที่ 3.24 แสดงการหน่วงเหนี่ยวการเจริญของเชื้อทดสอบแบบ Tube Test ในช่วงเวลาต่างๆ ของส่วนน้ำใสที่ปรับให้มีค่าความเป็นกรดต่าง 6.5 ของ *Lactobacillus* sp. สายพันธุ์ BL ที่ตกตะกอนด้วยแอมโมเนียมซัลเฟตอิมตัวที่ความเข้มข้น

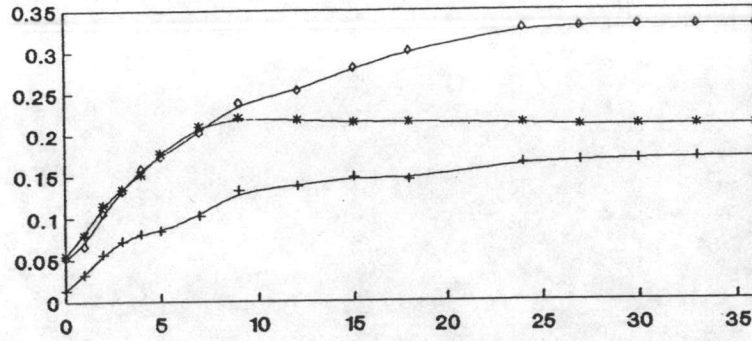
ก. 0-40 % ข. 40-70 % ค. 70-90 %

: อาหารเลี้ยงเชื้อ MRS \diamond , ส่วนน้ำใส BL $+$

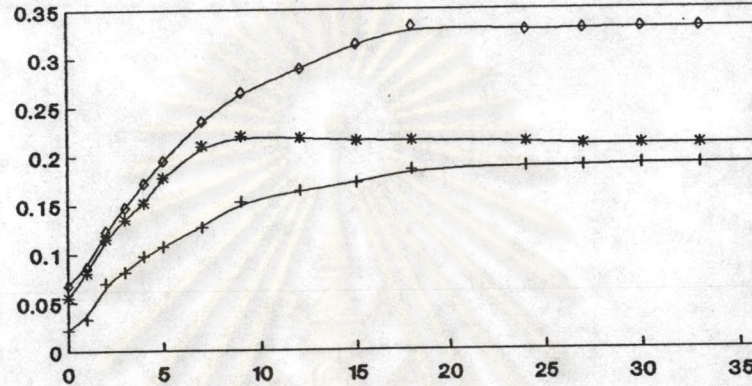
และอาหารเลี้ยงเชื้อ NB ไม่ผ่านการตกตะกอน $*$

เมื่อใช้ *B. subtilis* เป็นเชื้อทดสอบ ที่ 37 °C

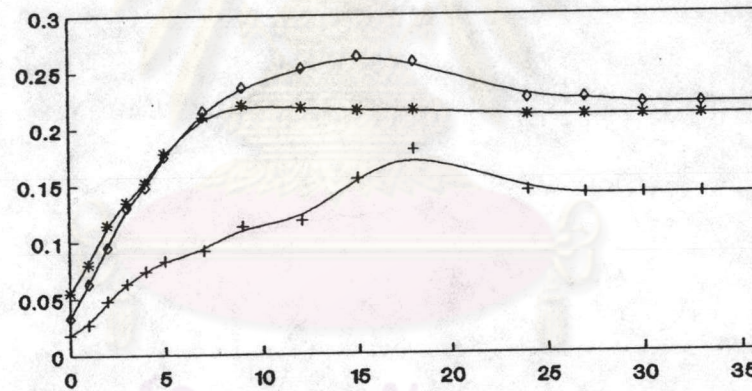
ค่าการดูดกลืนแสงที่ความยาวคลื่น 660 นาโนเมตร



ก



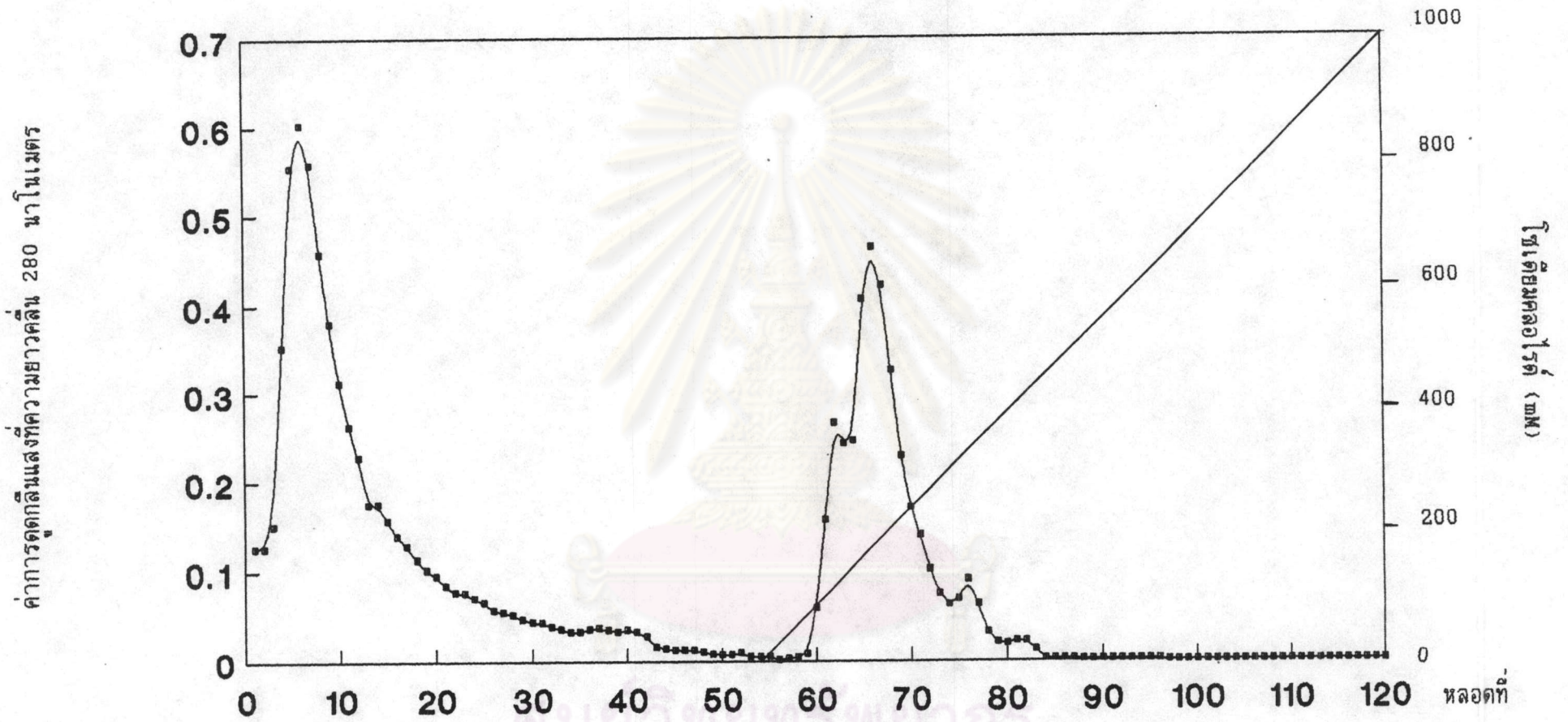
ข



ค

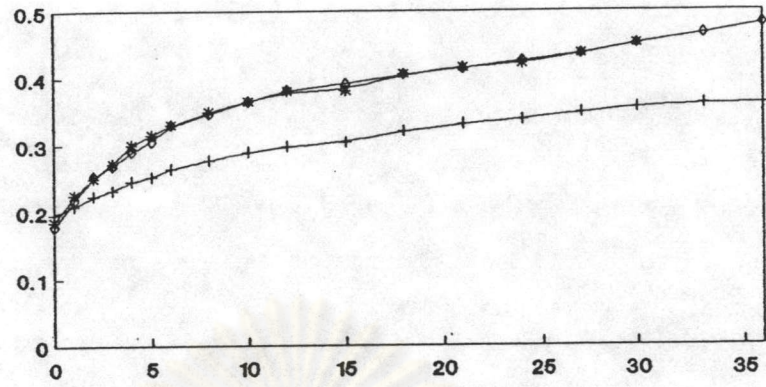
ระยะเวลา (ชั่วโมง)

รูปที่ 3.25 แสดงการห้วงเห็นยวการเจริญของเชื้อทดสอบแบบ Tube Test ในช่วงเวลาต่างๆ ของส่วนน้ำใสที่ปรับให้มีค่าความเป็นกรดต่าง 6.5 ของ *Lactobacillus* sp. สายพันธุ์ BL ที่ตกตะกอนด้วยแอมโมเนียมซัลเฟตที่ความเข้มข้น ก. 40 % ข. 70 % ค. 90 % เมื่อใช้เชื้อทดสอบ *E. coli* : อาหารเลี้ยงเชื้อ MRS ◇ : ส่วนน้ำใสของ ล.อ.บ. + และอาหารเลี้ยงเชื้อ NB ที่ไม่ผ่านการตกตะกอน * เมื่อใช้ *S. aureus* เป็นเชื้อทดสอบ ที่ 37 °ซ

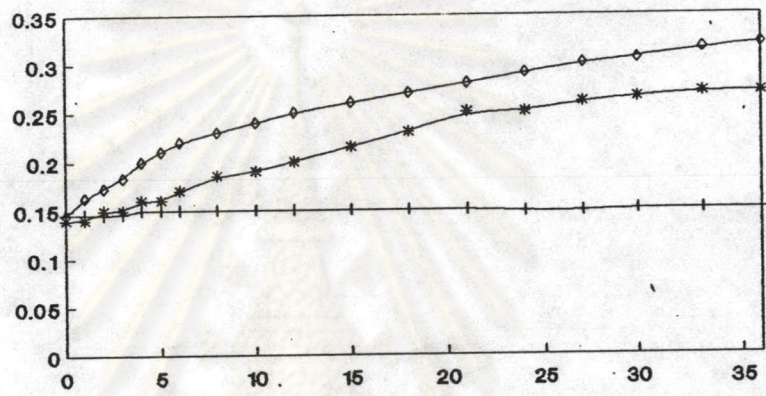


รูปที่ 3.26 แสดงการทำโครมาโตกราฟีของสารต่อต้านจุลินทรีย์ที่ผลิตโดย *Lactobacillus* sp. สายพันธุ์ BL โดยใช้คอลัมน์ดีอีเออี-เซฟาเทกซ์ เอ-50 รายละเอียดการทดลอง ได้แสดงไว้ในหัวข้อ 2.10.3

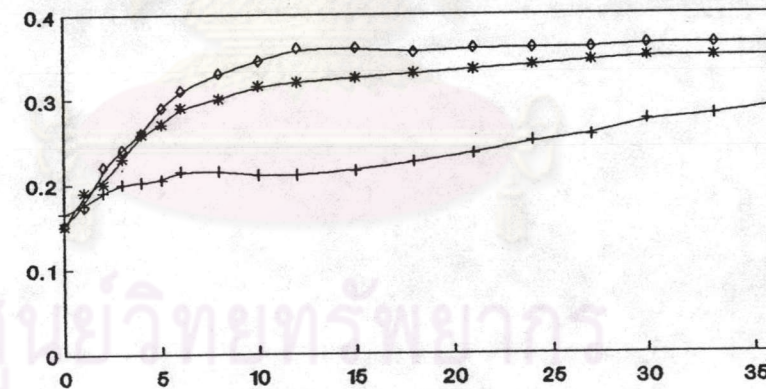
ค่าการดูดกลืนแสงที่ความยาวคลื่น 660 นาโนเมตร



ก



ข



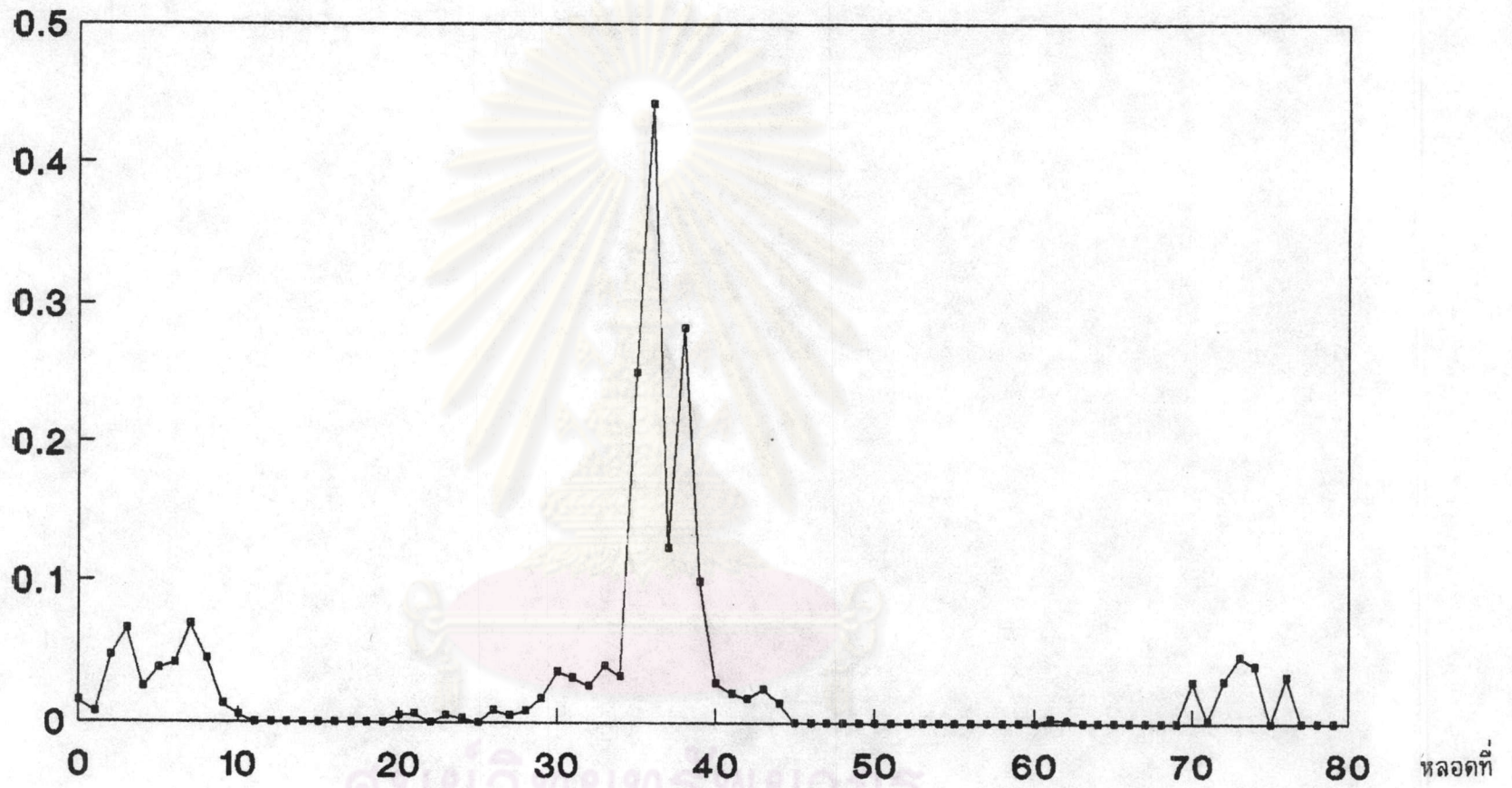
ค

ศูนย์วิจัยทรัพยากร
จุฬาลงกรณ์มหาวิทยาลัย

รูปที่ 3.27 แสดงการห้วงเห็นว่าการเจริญของเชื้อทดสอบแบบ Tube Test ในช่วงเวลาต่างๆ ของส่วนน้ำไลที่ปรับให้มีค่าความเป็นกรดต่าง 6.5 ของ *Lactobacillus* sp. สายพันธุ์ BL ที่ผ่านออกจากคอลัมน์ดีไอเออี-เซฟาเดกซ์ เอ-50

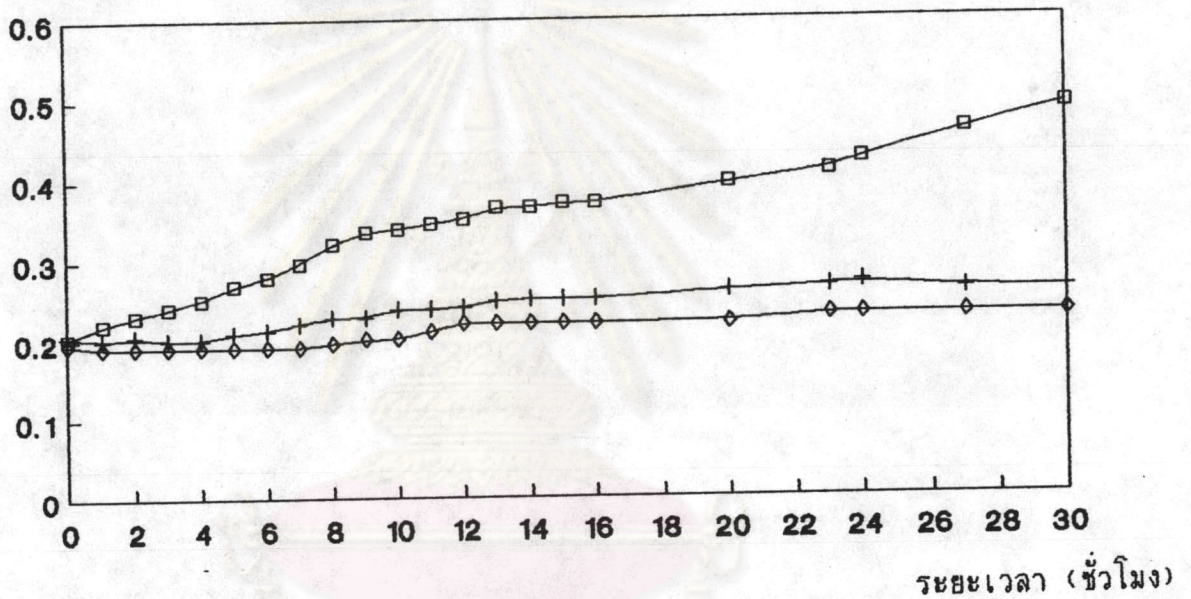
1. ลำดับส่วนที่ 5-7 \diamond 2. ลำดับส่วนที่ 65-67 $+$ 3. ตัวควบคุม $*$
 เมื่อใช้ ก. *E. coli* ข. *B. subtilis* ค. *S. aureus* เป็นเชื้อทดสอบ ที่ 37 °

ค่าการดูดกลืนแสงที่ความยาวคลื่น 280 นาโนเมตร



รูปที่ 3.28 แสดงการทำโครมาโตกราฟีของสารต่อต้านจุลชีพที่ผลิตโดย *Lactobacillus* sp. สายพันธุ์ BL โดยใช้คอลัมน์เซฟาเดกซ์ จี-75 รายละเอียดการทดลองได้แสดงไว้ในหัวข้อ 2.10.4

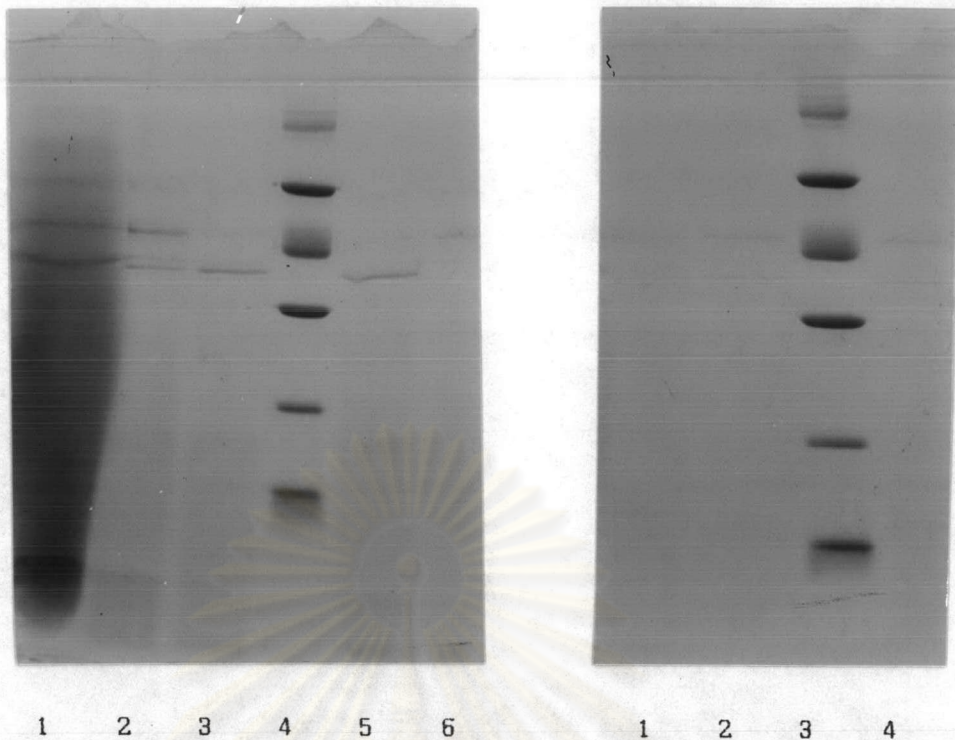
ค่าการดูดกลืนแสงที่ความยาวคลื่น 660 นาโนเมตร



รูปที่ 3.29 แสดงการหั่งเหี่ยวการเจริญของเชื้อทดสอบแบบ Tube Test ในช่วงเวลาต่างๆ ของส่วนน้ำไลที่ปรับให้มีค่าความเป็นกรดต่าง 6.5 ของ *Lactobacillus* sp. สายพันธุ์ BL ที่ผ่านออกจากคอลัมน์เซฟาเดกซ์ จี-75

1. ลำดับที่ 37 ◇ 2. ลำดับที่ 39 + 3. ตัวควบคุม □

เมื่อใช้ *B. subtilis* เป็นเชื้อทดสอบ ที่ 37 °ซ



รูปที่ 3.30 โซเดียมโอดีเตซิลซัลเฟตโพลีอะคริลาไมด์เจลอิเล็กโตรโฟรีซิสของสารต่อต้านจุลินทรีย์ที่ผลิตจาก *Lactobacillus* sp. สายพันธุ์ BL ในขั้นตอนต่างๆของการทำให้บริสุทธิ์ และโปรตีนมาตรฐานเมื่อเจลมีความเข้มข้น 12 %

3.30 ก. ช่องที่ 1 สารละลายตะกอนที่ได้จากการตกตะกอนด้วยแอมโมเนียมซัลเฟตอิ่มตัว 70 % (ปริมาณโปรตีน 3,462 ไมโครกรัม)

ช่องที่ 2 สารต่อต้านจุลินทรีย์ที่ผ่านออกจากคอลัมน์ ดีอีเออี-เซฟาเดกซ์ เอ-50 (ปริมาณโปรตีน 2,250 ไมโครกรัม)

ช่องที่ 3 สารต่อต้านจุลินทรีย์ที่ผ่านออกจากคอลัมน์ เซฟาเดกซ์ จี-75 (ปริมาณโปรตีน 1,080 ไมโครกรัม)

ช่องที่ 4 โปรตีนมาตรฐาน (ปริมาณโปรตีน 5 ไมโครกรัม)

ช่องที่ 5 สารต่อต้านจุลินทรีย์ที่ย่อยด้วยเอนไซม์อะไมเลส (1 มก./มล.)

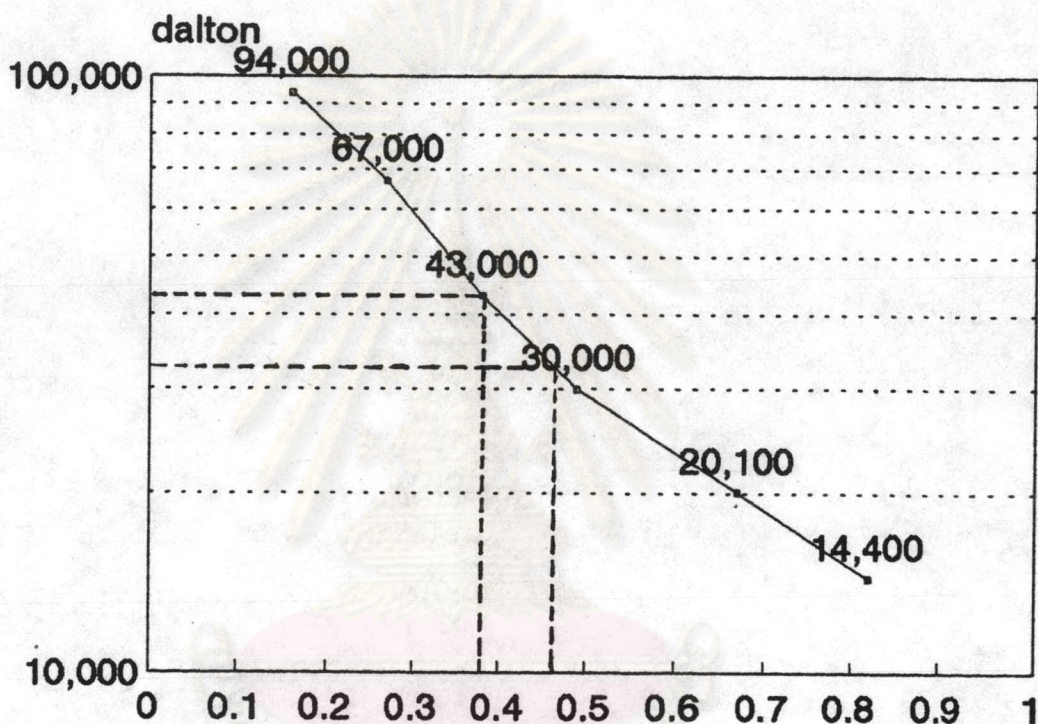
ช่องที่ 6 สารต่อต้านจุลินทรีย์ที่ย่อยด้วยเอนไซม์โปรติเอส (1 มก./มล.)

3.30 ข. ช่องที่ 1 สารต่อต้านจุลินทรีย์ที่ย่อยด้วยเอนไซม์โปรติเอสกับไลเปส (1 มก./มล.)

ช่องที่ 2 สารต่อต้านจุลินทรีย์ที่ย่อยด้วยเอนไซม์โปรติเอสกับอะไมเลส (1 มก./มล.)

ช่องที่ 3 โปรตีนมาตรฐาน (ปริมาณโปรตีน 5 ไมโครกรัม)

ช่องที่ 4 สารต่อต้านจุลินทรีย์ที่ย่อยด้วยเอนไซม์ไลเปส (1 มก./มล.)



รูปที่ 3.31 กราฟแสดงความสัมพันธ์ระหว่างค่าการเคลื่อนที่ของโปรตีนมาตรฐาน และลอกการีซีมของน้ำหนักรโมเลกุล โดยการทำให้เต็มโตเดซิลซัลเฟตโพลีอะคริลาไมด์เจลอิเล็กโตรโฟรีซิส ตามวิธีการทดลองในข้อ 2.10.5